



Multi-objective optimization of parametric form of native residential building based on comfort in hot and dry climate of Yazd city

ARTICLE INFO

Article Type
Analytic Study

Authors

Mohammadmehdi Moulaii ^{1*}
Maryam Younesi ²

How to cite this article

Falahi

URL: <http://>

ABSTRACT

Aims: Considering the share of about 35% of energy consumption by buildings, energy consumption management requires special attention from architects. Building form is one of the most influential parameters on energy consumption, and the Yazd city, as an example of an arid and warm climate, is the focus of this research. The purpose is to provide a solution to produce the optimal form of independent vernacular building as a basic policy in the conceptual design phase in Yazd city.

Methods: Using parametric modeling and energy simulation by suitable computer tools, multi-objective optimization of the building form was carried out considering two indicators of thermal and visual comfort by genetic algorithm for the arid and warm climate of Yazd city. Several subsurface area values were considered as input and the results were presented in four general forms: cube, L, U and O.

Findings: In this research, the optimal options were analyzed and compared, and a general model for the optimal form and orientation of the building was presented. The results of the research showed that the most optimal form, considering the thermal comfort index as a priority index for all the investigated areas, is a rectangular cube form with a shape factor of about 1.8 and a north-south orientation.

Conclusion: Using the form and optimal orientation of the building as a passive policy that is the basis for other active and passive policies can have an Appropriate effect on creating comfort and reducing energy consumption in a combined manner.

Keywords: Multi-Objective optimization, Parametric form, Thermal comfort, Visual comfort, Genetic algorithm, Sustainable design, Arid and warm climate

CITATION LINKS

1- Assistant Professor, Department of Architecture, Faculty of Art and Architecture, Bu-Ali Sina University, Hamedan, Iran,

2- Master's degree in digital technology architecture, Department of Architecture, Faculty of Art and Architecture, Bu-Ali Sina University, Hamedan, Iran,

*Correspondence

Address: Department of Architecture, Faculty of Art and Architecture, Bu-Ali Sina University, Hamedan, Iran,

Email: m.moulaii@basu.ac.ir

Article History

Received:

Accepted:

Published:

- [1] Zou Y, Zhan Q, Xiang K. A comprehensive method for optimizing.....[2] Fang Y, Cho S. Design optimization of building geometry and.....[3] Binghui S, Wang J, Yao X, Shi X, Jin X, Zhou X. Multi-objective.....[4] Feng J, Luo X, Gao M, Abbas A, Xu Y, Pouramini.....[5] Hemsath T.L., Bandhosseini K.A. Sensitivity analysis.....[6] Ostergard T, Jensen R. L., Maagaard S. E. Building simulations.....[7] Wortmann T, Nannicini G. Introduction to Architectural Design.....[8] Jamalpour S., Arbabian A. The effect of climate on the formation...[9] Zarei M, Mirdehghan F. The role of the central courtyard pattern in.....[10] Mohammed S A, Awad O A, Radhi A M. Optimization of energy.....[11] Konis K, Gamas A, Kensek K. Passive performance and building form: An.....[12] Gerber D J, Lin S H. Designing in complexity:.....[13] Motazedian F. Analysis of Optimum Window-to-Wall Ratio in Horizontally...[14] Stazi F., Naspi F., Ulpaini G., Di Perna C. Indoor air quality and thermal.....[15] Tang R., Wang S. Model predictive control for thermal energy.....[16] Ameur M., Kharbouch Y., Mimet A. Optimization of passive.....[17] Gou S., Nik V. M., Scartezzini J. L., Zhao Q., Li Z. Passive design.....[18] Shahbazi Y., Heydari M., Haghparast F. An early-stage design optimization.....[19] Lu S., Wang R., Zheng S. Passive Optimization Design Based on Particle....[20] Lucarelli C C, Carlo J C, Martinez A C P. Simulation-based optimization for an origami.....



دانشگاه شهر تکنولوژی

بهینه‌سازی چند هدفه فرم پارامتریک بنای مسکونی بومی بر پایه آسایش در اقلیم گرم و خشک شهر یزد

اطلاعات مقاله چکیده

نوع مقاله: تحقیق بنیادی

نویسنده‌گان

محمد مهدی مولایی *

مریم یونسی ۲

اهداف: با توجه به سهم حدود ۳۵ درصدی مصرف انرژی توسط ساختمان‌ها، مدیریت مصرف انرژی توجه و بیهای از سوی معماران خواستار است. فرم بنا یکی از تأثیرگذارترین پارامترها بر میزان مصرف انرژی است و شهر یزد به عنوان نمونه اقلیم گرم و خشک در جهان که دارای تابستان‌های گرم و طولانی است مورد توجه پژوهش حاضر است. هدف از این پژوهش ارائه راهکاری برای تولید فرم بهینه ساختمان بومی مستقل به عنوان سیاست پایه‌ای در فاز طراحی مفهومی در شهر یزد است.

روش‌ها: با استفاده از مدل‌سازی پارامتریک و شبیه‌سازی انرژی توسط ابزار رایانه‌ای مناسب، بهینه‌سازی چند هدفه فرم ساختمان با در نظر گرفتن دو شاخص آسایش حرارتی و آسایش بصری توسط الگوریتم ژنتیک برای اقلیم گرم و خشک شهر یزد انجام گرفت. چند مقدار مساحت زیرینبا به عنوان ورودی در نظر گرفته شد و نتایج در قالب چهار نوع فرم کلی مکعب، L، U و O ارائه شد.

یافته‌ها: در این پژوهش گزینه‌های بهینه مورد تحلیل و مقایسه قرار گرفت و مدلی کلی برای فرم و جهتگیری بهینه ساختمان ارائه شد. نتایج پژوهش نشان داد که بهینه‌ترین فرم با در نظر گرفتن شاخص آسایش حرارتی به عنوان شاخص دارای اولویت برای تمامی مساحت‌های مورد بررسی، فرم مکعب مستطیل با فاکتور شکل حدود ۱/۸ و جهتگیری شمالی-جنوبی است.

نتیجه‌گیری: استفاده کردن از فرم و جهتگیری بهینه ساختمان به عنوان سیاست غیر فعال که پایه‌ای برای سیاست‌های فعال و غیر فعال دیگر است می‌تواند تأثیر مناسبی بر ایجاد آسایش و کاهش مصرف انرژی به صورت توأم داشته باشد.

کلیدواژه‌ها: بهینه‌سازی چند هدفه، فرم پارامتریک، آسایش حرارتی، آسایش بصری، الگوریتم ژنتیک، طراحی پایدار، اقلیم گرم و خشک

نویسنده مسئول *

m.moulaii@basu.ac.ir

تاریخ مقاله

تاریخ دریافت:

تاریخ پذیرش:

تاریخ انتشار:

ارجاع‌دهی

URL: <http://>

در مراحل اولیه طراحی وجود دارد. علاوه براین استفاده از روش‌های ارزیابی زیستمحیطی به طور قابل توجهی افزایش یافته است [۶]. با در نظر گرفتن اقلیم و شرایط محیطی می‌توان عملکرد ساختمان را به لحاظ انرژی شبیه‌سازی کرده و با استفاده از ابزار بهینه‌سازی مناسب می‌توان فرمی که منجر به عملکرد بالای ساختمان به لحاظ انرژی می‌شود را بهینه‌یابی کرد. طراحی هندسه و فرم بنا می‌تواند یکی از تأثیرگذارترین پارامترها بر میزان مصرف انرژی ساختمان به حساب بیاید [۱]. با وجود طراحی پارامتریک، طراحان تعداد زیادی از انواع طراحی را بر اساس قوانین و پارامترهای صریح تولید می‌کنند. با استفاده از شبیه‌سازی نیز، طراحان انواع طراحی را از نظر معیارهای عملکرد کمی مانند استفاده از مصالح یا انرژی ارزیابی می‌کنند. در عمل یافتن بهترین انواع طراحی با توجه به چنین معیارهای عملکردی یک مسئله بهینه‌سازی است. در مباحث مربوط به معماری، بهینه‌سازی ریاضی در حال حاضر تنها در موارد نادری به کار برده می‌شود اما می‌توان انتظار داشت که کاربرد آن بر اساس در دسترس بودن روزافزون دانش و ابزار مربوطه رشد پیدا کند [۷]. با توجه به اهمیت آسایش مصرف کنندگان ساختمان و ارتباط قوی آن با مصرف انرژی، اثرات اقلیم بر طراحی دارای اهمیت است. شهر یزد به عنوان شهری تاریخی با اقلیم گرم و خشک که از دیرباز با مسئله آسایش مواجه بوده است مورد توجه پژوهش حاضر قرار دارد. منطقه یزد از بارزترین نمونه‌های معماری خاص اقلیم‌های گرم و خشک در جهان به حساب می‌آید. در قدیم تناسب آن با نیازها و شرایط اقلیمی - فرهنگی مردم منطقه، از ویژگی‌های معماری شهر یزد به شمار می‌آمده [۸]. ساختمان‌های مسکونی سنتی این شهر که دارای فرم راستگوشه بوده و فرمی درونگرا داشتند، اغلب دارای حیاط مرکزی بوده‌اند و پاسخگوی نیازهای اقلیمی منطقه بوده‌اند [۹]. با این وجود در معماری معاصر شهر یزد نوعی معماری جدید به وجود آمده که کاملاً با شرایط اقلیمی منطقه در تضاد است. خانه‌های ردیفی که از بتن، آهن و آجر ساخته شده اند با حیاط‌هایی که به علت کوتاه بودن دیوارهایشان، از یک سو قادر به ایجاد سایه مناسب نیستند و همچنین قادر نیستند از بنا، در مقابل وزش باد شدید و نور زیاد خورشید محافظت نمایند و شرایط نامساعدی برای ساکنین بوجود می‌آورند [۸]. با در نظر گرفتن این شرایط، پژوهش حاضر فرم ساختمان بومی در شهر یزد را مورد توجه قرار داده و جواب مناسبی برای فرم ساختمان مسکونی بومی منطقه ارایه می‌دهد.

پیشنهاد

از جمله تحقیقاتی که در حوزه بهینه‌سازی فرم ساختمان صورت گرفته تحقیقی است انجام شده در سال ۲۰۲۰ که طراحی،

مقدمه

ساختمان جزء ضروری زندگی بشر است زیرا ظرفی برای فعالیت‌های مختلف انسان به حساب می‌آید. با وجود نمی‌توان تاثیر صنعت ساختمان‌سازی مدرن را بر اکوسیستم زمین نادیده گرفت. مردم ملزم به یافتن راههایی برای به حداقل رساندن تأثیر منفی و به حداقل رساندن مزایای ساختمان‌ها با در نظر گرفتن محدودیت‌ها و الزامات مختلف هستند [۱]. مسأله بحران انرژی سالهای است که هدف دانشمندان و اندیشمندان دنیاست و از آنجا که ساختمان‌ها یکی از بزرگترین مصرف کنندگان انرژی هستند، توجه به تصمیمات مرتبط با طراحی ضروری به نظر می‌رسد. مراحل اولیه طراحی و در صدر آن مرحله طراحی مفهومی ساختمان‌ها دوره‌ای است که اکثر تصمیمات طراحی ساختمان‌ها اتخاذ می‌شود و بیشترین پتانسیل برای دستیابی به طرح‌های با کارایی بالا در همین مرحله وجود دارد [۲]. مصرف انرژی در تمامی حوزه‌های مرتبط با ساختمان ۳۶ درصد از مصرف انرژی نهایی و ۳۹ درصد از انتشار دی‌اکسید کربن مرتبط با انرژی در سراسر جهان را تشکیل می‌دهد. بنابراین بهبود مصرف انرژی در بخش ساختمان با حفظ آسایش داخلی برای دستیابی به صرفه‌جویی در انرژی، کاهش آلودگی هوا و سازگاری با تغییرات آب و هوایی ضروری است [۳]. سیاست‌های فعال و غیرفعال به دنبال یک طرح مفهومی اولیه برای پروژه‌ها در بیشتر موارد در نظر گرفته می‌شوند بنابراین ترکیب کارآمد آنها در ساخت و ساز و افزایش اثربخشی آنها الزامی به نظر می‌رسد [۴]. در مرحله طراحی مفهومی می‌توان تصمیمات مرتبط با طراحی فرم را بگونه‌ای اتخاذ کرد که پایداری ساختمان به لحاظ انرژی با راهکارهای غیرفعال ممکن شود تا در مراحل بعدی و با تصمیم‌گیری در مورد راهکارهای فعلی، انرژی مورد نیاز مصرفی به حدائق ممکن کاهش پیدا کند. همچنین اگر ساختمان به گونه‌ای طراحی شود که در دوره اوج مصرف انرژی با سیاست غیرفعال آسایش حرارتی بهتری فراهم کند، میزان مصرف انرژی در آن دوره کاهش یافته و منجر به کاهش مصرف انرژی سالیانه می‌شود. تحقیقات متعددی به بررسی اثرات فرم و هندسه بر میزان مصرف انرژی پرداخته‌اند. روشی که همیشه و باندحسینی [۵] ارایه کرده، ارزیابی فرم ساختمان برای مقایسه اثرات تغییرات هندسی و ملاحظات مصالح بر مصرف انرژی از طریق دو نوع تحلیل حساسیت را بررسی می‌کند. این تحقیق نشان می‌دهد که نسبت تغییرات هندسی فرم ساختمان به همان اندازه تغییر موارد مربوط به مصالح بر مصرف انرژی اثرگذار است.

امروزه با پیشرفت ابزارهای رایانه‌ای، هوش مصنوعی و الگوریتم‌های بهینه‌سازی امکانات وسیعی برای کمک به طراحان و تصمیم‌سازی

انرژی در ساختمان ارایه می‌دهد. با استفاده از این روش که یک روش فعال کنترلی بر پایه پیش‌بینی میزان تقاضای انرژی است، میزان مصرف انرژی ساختمان به طور مؤثر کاهش می‌یابد [۱۵]. همچنین در یکی از تحقیق‌های بررسی شده مربوط به سال ۲۰۲۰، مطالعه موزدی یک ساختمان مسکونی در کشور مراکش در جهت بهینه‌سازی عوامل مرتبط با استراتژی غیرفعال در کاهش مصرف انرژی صورت گرفت. در این پژوهش عایق حرارتی و جرم خراتری بدنه ساختمان با استفاده ازنمودار زیست اقلیمی منطقه به صورت چنددهفه بهینه‌سازی شد. بهینه‌سازی با استفاده از نمودار جبهه پارتو صورت گرفت [۱۶]. پژوهشی دیگر در سال ۲۰۱۷ انجام گرفت که هدف آن بهینه‌سازی طراحی غیرفعال ساختمان‌های مسکونی تازه‌ساخت در تابستان گرم و زمستان سرد چین برای بهبود آسایش حرارتی داخلی و در عین حال کاهش تقاضای انرژی ساختمان بود. در این راستا، این مقاله به بررسی عملکرد یک آپارتمان به عنوان نمونه موردی در شهر شانگهای می‌پردازد و راه حل‌های بهینه را با استفاده از یک رویکرد بهینه‌سازی توسعه یافته به نام الگوریتم ژنتیک مرتب‌سازی غیرمسلط، همراه با شبکه عصبی مصنوعی (ANN)، به دست می‌آورد. در این پژوهش ۳۷ متغیر به لحاظ بهینه‌سازی مورد بررسی قرار می‌گیرند [۱۷]. در تحقیقی دیگر که در سال ۲۰۱۹ انجام شد، سیاست غیرفعال در طراحی مدنظر قرار گرفت و نور روز و عملکرد حرارتی یک ساختمان اداری با استفاده از یک مدل طراحی مبتنی بر پارامتریک شبیه‌سازی شده و پلاگین اکتاپوس (Octopus) که یک ابزار بهینه‌سازی مبتنی بر الگوریتم‌های ژنتیک توسعه یافته برای گرسهایپر (Grasshopper) است، بهینه‌سازی می‌شود. هدف به دست آوردن نوع ترکیب و میزان سطح نورگیر در یک نمونه ساختمان اداری است [۱۸]. در پژوهشی دیگر که در سال ۲۰۱۷ انجام گرفت، متغیرهای شکل ساختمان، پوشش و سیستم سایه‌انداز با هدف کاهش مصرف انرژی و تأمین آسایش حرارتی مصرف‌کنندگان ساختمان روتاسی در اقلیم گرم کشور چین بهینه‌سازی شدند. برای شبیه‌سازی موارد مرتبط با انرژی ساختمان از نرم‌افزار انرژی پلاس استفاده شد. همچنین برای بهینه‌سازی الگوریتم بهینه‌سازی از دحام ذرات در نرم افزار ژن اپت (GenOpt) مورد استفاده قرار گرفت [۱۹].

اهداف پژوهش

در پژوهش‌های صورت‌گرفته در زمینه بهینه‌سازی متغیرهای ساختمان با هدف توصیه سیاست‌های غیرفعال برای کاهش مصرف انرژی مقاله‌ای یافت نشد که فرم اولیه ساختمان را به همراه جهتگیری آن به طور کلی برای یک اقلیم معین با استفاده از الگوریتم جستجو در بین جواب‌های ممکن و نامحدود در بازه تعريف

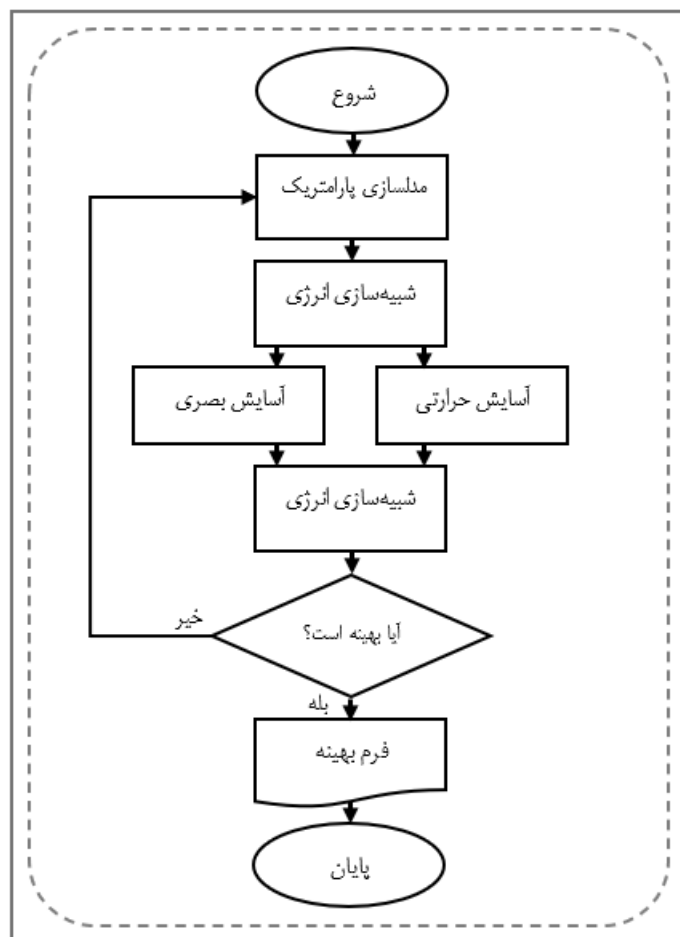
شبیه‌سازی و ارزیابی عملکرد یک مدل بهینه برای سیستم‌های گرمایش، تهویه و تهویه مطبوع (HVAC) را با استفاده از الگوریتم کنترل هوشمند ارائه می‌کند. در این پژوهش برای بدست آوردن مقادیر بهینه و اولیه از روش آسایش Fanger و الگوریتم ژنتیک استفاده شده است [۱۰]. پژوهشی دیگر در سال ۲۰۱۶ با هدف نشان دادن کاربرد یک چارچوب جدید بهینه‌سازی عملکرد با سیاست غیرفعال برای بهبود کارایی ساختمان با در نظر گرفتن شاخص‌های روشنایی روز، کنترل خورشیدی، و استراتژی‌های تهویه طبیعی در مراحل اولیه طراحی پروژه‌های معماری است. که قادر به بهینه‌سازی هندسه ساختمان، جهت‌گیری ساختمان و سایر پارامترهای مرتبط با ساختمان در پاسخ به الزامات برنامه، مجاورت ساختمان‌های خاص سایت، و روشنایی روز مبتنی بر آب و هوا و کل معیارهای عملکرد مصرف انرژی ساختمان می‌باشد [۱۱]. تحقیقی دیگر نیز در سال ۲۰۲۱ برای بهینه‌سازی ویژگی‌های پوشش و شکل ساختمان، از یک تکنیک بهینه‌سازی - شبیه‌سازی استفاده کرده است. برای به دست آوردن بهترین مقادیر از همه متغیرهای مرتبط برای به حداقل رساندن مصرف انرژی در ساختمان‌های مسکونی، یک بهینه‌ساز خاص به عنوان الگوریتم بهینه‌سازی در نظر گرفته است. همچنین برای شبیه‌سازی انرژی کل ساختمان از برنامه RIUSKA استفاده شده است. پارامترهای بهینه‌سازی عبارتند از مساحت و نوع پنجره‌ها، فونداسیون، عایق های دیوار و سقف، سطح نفوذ، جهت‌گیری و جرم حرارتی [۴]. پژوهش دیگری که در سال ۲۰۱۳ انجام گرفت، یک روش شبیه‌سازی طراحی جدید را بر اساس ترکیب یک ابزار نمونه اولیه (H.D.S. Beagle) ارائه می‌کند که مدل‌سازی پارامتریک را با بهینه‌سازی چند هدفه از طریق یک پلتفرم یکپارچه برای امکان‌سازی تکرار سریع و تحلیل مبادله در حوزه‌های طراحی، شدت مصرف انرژی ترکیب می‌کند [۱۲]. مطالعه ای دیگر در سال ۲۰۱۹ تغییرات تقاضای انرژی حرارتی سالانه و روشنایی مفید نور روز را برای تعیین نسبت بهینه پنجره به دیوار (WWR) یک کلاس درس ابتدایی شبیه‌سازی شده در تهران در دو جهت جنوب و شمال مورد تجزیه و تحلیل قرار می‌دهد. نتایج این تحقیق نشان دادند نسبت پنجره به دیوار در محدوده ۲۵ تا ۳۵ درصد در نمای جنوبی بهترین عملکرد را برای بهینه نور روز و بارهای حرارتی دارند [۱۳]. مقاله‌ای دیگر در سال ۲۰۱۷ توسعه یک سیستم خودکار برای باز کردن پنجره‌ها را بر اساس همبستگی‌های آسایش حرارتی و کیفیت هوای داخلی ارائه می‌دهد [۱۴]. مقاله‌ای دیگر نیز در سال ۲۰۱۹ یک روش هوشمند برای بهینه‌سازی آسایش حرارتی بر اساس میزان پاسخ نسبت به تقاضای انرژی در راستای کاهش مصرف

۱. مدل‌سازی پارامتریک ساختمان و معین نمودن دامنه تغییرات متغیرها.
۲. شبیه‌سازی انرژی و شبیه‌سازی نور روز و انجام تنظیمات مرتبط با اقلیم و زمان و نوع بنا. در این مرحله دمای عملیاتی از بخش شبیه‌سازی انرژی ساختمان در حالت بدون تهویه مصنوعی بر اساس مدل آسایش حرارتی ادپتیو (Adaptive) و همچنین به دست آوردن مقدار Usefull Daylight Illuminance (UDI) از بخش شبیه‌سازی نور روز به دست می‌آید. در پژوهش حاضر هدف به دست آوردن کمترین مقدار دمای عملیاتی میانگین در تابستان و بیشترین مقدار میانگین UDI در کل سال برای اقلیم یزد است.
۳. اتصال متغیرهای بهینه‌سازی و شاخص‌های بهینه‌سازی به الگوریتم بهینه‌ساز جهت یافتن بهینه متغیرها به صورت دو هدفه. فرآیند دستیابی به طرح بهینه در شکل ۱ نشان داده شده است.

شده بهینه‌یابی کند. پژوهش حاضر با توصیه تعدادی جواب در مرحله طراحی مفهومی در منطقه گرم و خشک شهر یزد برای ساختمان‌های بومی مستقل می‌تواند کمکی برای طراحان در جهت تصمیم‌سازی در مراحل اولیه طراحی به حساب بباید تا با اجرای این سیاست غیرفعال در کاهش مصرف انرژی و به عنوان پایه‌ای برای طراحی مفهومی، سیاست‌های غیرفعال دیگر نظری میزان سطح نورگیر و بازشو و سایهبان و جرم حرارتی را بر این اساس مورد استفاده قرار دهند. شاخص‌های مورد توجه در این پژوهش، شاخص‌های آسایش حرارتی و آسایش بصری هستند و فرم اولیه ساختمان بومی با در نظر گرفتن این دو شاخص به صورت چندهدفه بهینه‌یابی می‌شود.

روش پژوهش

به طور کلی طراحی سیستم بهینه‌سازی ساختمان مسکونی یک طبقه در سه مرحله انجام گرفت:



شکل ۱. فرآیند دستیابی به طرح بهینه

هستند. نحوه اجرا به این صورت است که یک فرم مکعب با مساحت سطح مقطع افقی معین و ثابت به عنوان ورودی برنامه و با طول و عرض متغیر(یک پارامتر: عرض سطح مقطع افقی مکعب با ثابت بودن مساحت قابل دستیابی است). و ارتفاع ثابت به عنوان فرم پایه در نظر گرفته می‌شود و یک مکعب کوچکتر به عنوان فرم کم‌شونده از فرم پایه. مکعب کوچکتر نیز دارای متغیرهای طول و عرض سطح مقطع افقی و مکان متغیر (مختصات مرکز مکعب کوچک) قابلیت جابجایی دارد. شکل ۳ نسبت به مکعب بزرگتر است. جهتگیری بنا نسبت به شمال جغرافیایی نیز با در نظر گرفتن متغیر میزان چرخش بنا حول مرکز به صورت پارامتریک اعمال می‌شود. به طور کلی فرم‌های O, L, U و مکعب (حالت بدون کم کردن مکعب کوچکتر از مکعب اصلی) با ابعاد و اندازه‌های متفاوت و نامحدود از این طریق با حفظ مساحت سطح مقطع افقی به عنوان ورودی ثابت قابل دستیابی است. مساحت‌های مورد بررسی و بهینه‌سازی قرار گرفته در این پژوهش ۴ مقدار مساحت: ۲۵۰، ۳۵۰، ۴۵۰ و ۶۵۰ متر مربع هستند. دلیل انتخاب این اعداد به عنوان مساحت زیربنا برای ورودی برنامه بررسی سایت املاک و مستغلات شهر یزد و عرضه و تقاضای ساختمان‌های مسکونی بومی و خانه‌باغ‌های واقع در شهر یزد بود که نشان می‌داد اکثریت واحدها (حدود ۸۰٪) دارای مساحت زیربنای مساوی یا بیشتر از ۲۵۰ متر مربع بوده و کمتر دارای مساحتی بالاتر از ۴۵۰ - ۵۰۰ متر مربع هستند. با این حال برای مقایسه بهتر و ارایه جامع‌تر مساحت ۶۵۰ متر مربع نیز مورد بررسی و بهینه‌سازی قرار گرفت. جدول ۱ نمونه‌هایی از فرم‌های قابل دستیابی در قالب ۴ مدل اصلی را نشان می‌دهد.

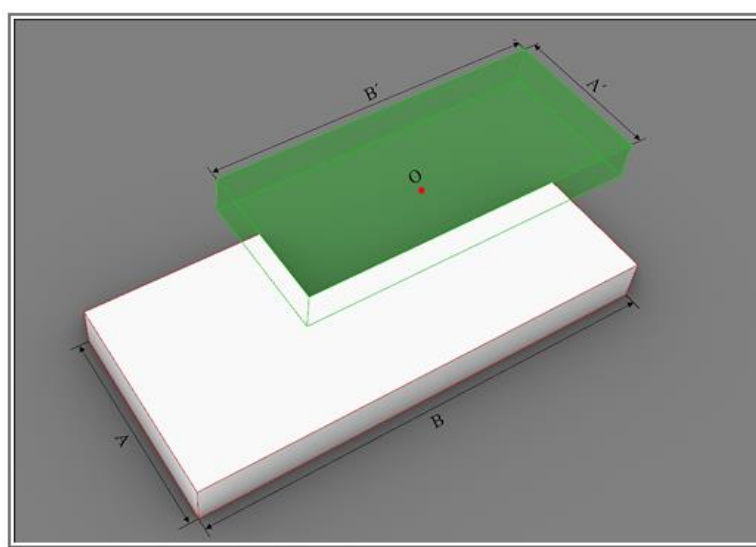
۴-۱- مدلسازی پارامتریک

مدلسازی پارامتریک یک ابزار برای فرآیند طراحی خلاقانه است. تنوع راه حل‌های ارائه شده توسط این ابزار به ارزیابی چندین گزینه قبل از انتخاب یک راه حل قطعی کمک می‌کند. اگر مدل‌سازی پارامتریک با یک ابزار کمکی تصمیم‌گیری مانند الگوریتم‌های بهینه‌ساز ادغام شود می‌توان راه حل‌های مناسبی را به دست آورد [۲۰]. با استفاده از ابزار رایانه‌ای مناسب می‌توان طرح معماری را به صورت پارامتریک طراحی کرد. طرح حاضر با استفاده از نرم‌افزار گرسه‌پر که زیرمجموعه نرم‌افزار طراحی سه بعدی راینو است طراحی شده است.(شکل ۲)



شکل ۲. نرم‌افزار مورد استفاده در مدل‌سازی پارامتریک

در این پژوهش فرم‌هایی بر پایه مکعب به روش پارامتریک استخراج می‌شود. دلیل بررسی و استفاده فرم‌های با پایه مکعب این است که علاوه بر اینکه فرم مکعب و ترکیبات مختلف آن پر کاربردترین فرم‌ها در طراحی ساختمان در دنیا هستند [۲۱]. این نوع فرم‌ها در ساختمان‌های بومی شهر یزد یافت می‌شوند [۹] فرم‌های موردنظر در این پژوهش، تمامی فرم‌هایی هستند که قابلیت به وجود آمدن از طریق جدا کردن مکعبی کوچکتر از یک مکعب بزرگتر را دارا



شکل ۳. نمونه فرم پارامتریک: A: عرض مکعب اصلی, B: طول مکعب اصلی, A': عرض مکعب کم‌شونده, B': طول مکعب کم‌شونده, O: مرکز پلان مکعب کم‌شونده)

جدول ۱. نمونه‌های انواع فرم کلی قابل دستیابی از طریق مدلسازی پارامتریک

| فرم مکعب کامل | فرم L | فرم U | فرم O |
|---------------|-------|-------|-------|
| | | | |

داده‌های ۲۰۲۱-IECC ۹۰/۱ ۲۰۱۹-ASHRAE استفاده شده است. شمای کلی بخش شبیه‌سازی پاکت انرژی ساختمان در شکل ۵ آورده شده است. خروجی این بخش به عنوان ورودی بخش‌های شبیه‌سازی آسایش حرارتی و آسایش بصری مورد استفاده قرار می‌گیرد. با توجه به اینکه داده‌های مرتبط با اقلیم یزد برای بخش شبیه‌سازی پژوهش حاضر ضروری است، لازم است در ارتباط با اقلیم انتخابی توضیحاتی در این بخش آورده شود.

اقلیم یزد:

استان یزد در مرکز کشور و در عرض جغرافیایی بین ۲۹ درجه و ۵۹ دقیقه تا ۳۲ درجه و ۲۱ دقیقه شمالی و طول جغرافیایی ۵۲ درجه و ۵۵ دقیقه تا ۵۶ درجه و ۳۹ دقیقه شرقی قرار گرفته است. این استان از شمال با استان‌های اصفهان و از شرق به استان خراسان جنوبی، از جنوب با استان کرمان و از غرب به استان اصفهان و فارس منتهی می‌گردد [۲۷]. شهر یزد در ارتفاع ۱۲۲۰ متر از سطح دریا واقع گردیده و بر اساس روش تقسیم بندی اقلیمی، کوپون دارای اقلیم نوع BWsah می‌باشد [۲۸]. ویژگی اقلیم نوع Bwsah کمی بارندگی سالیانه در مقایسه با نیازهای آبی گیاه است. در اقلیم نوع W، میزان بارندگی سالیانه (سانتی متر) کمتر از معدل درجه حرارت سالیانه (سانتی گراد) می‌باشد. مفاهیم سایر علایم عبارتند از:

(۵): قسمت اعظم بارندگی زمستانه بوده و بارندگی پریاران ترین ماه سال حداقل سه برابر ریزش‌های کم باران ترین ماه می‌باشد.

(۶): دمای متوسط گرم ترین هفته سال در طول روز بیش از ۳۵ درجه سانتی گراد می‌باشد.

(h): دمای متوسط سالانه بالاتر از ۱۸ درجه سانتی گراد است. در تقسیم بندی دما‌ترن و بر اساس داده‌های اقلیمی دوره مورد مطالعه، شهر یزد دارای اقلیم خشک با شاخص کمتر از ۱۰ و زیر اشکوب خشک بیابانی می‌باشد.

برای اینکه فرم‌های غیر معمارانه از گزینه‌های مورد بررسی حذف شوند محدودیت‌های ذیل اعمال شدند:

- _نسبت طول به عرض بنا کمتر از $25/0$ و بیشتر از 4 برابر نباشد.
- (این نسبت برای عرض به طول نیز صادق است.)
- _فاصله بین دو دیوار خارجی از 3 متر کمتر نباشد. (بر طبق آیین‌نامه نظام مهندسی عرض راهروها از $1/4$ متر نباید کمتر باشد.)
- بعاد مکعب کم‌شونده از 3 متر کمتر نباشد.
- ارتفاع فرم‌ها ثابت و برابر با $25/3$ متر در نظر گرفته شدند.

در این راستا تعداد ورودی‌های متغیر (پارامترها) لازم برای هر دسته متفاوت بود از این‌رو برنامه برای هر مدل به طور جداگانه اجرا می‌شود. جدول ۲ زیر پارامترهای مورد نیاز برای هر دسته را نشان می‌دهد. شمای کلی بخش مدلسازی پارامتریک به کمک نرم‌افزار گرشهایپر در شکل ۴ نشان داده شده است.

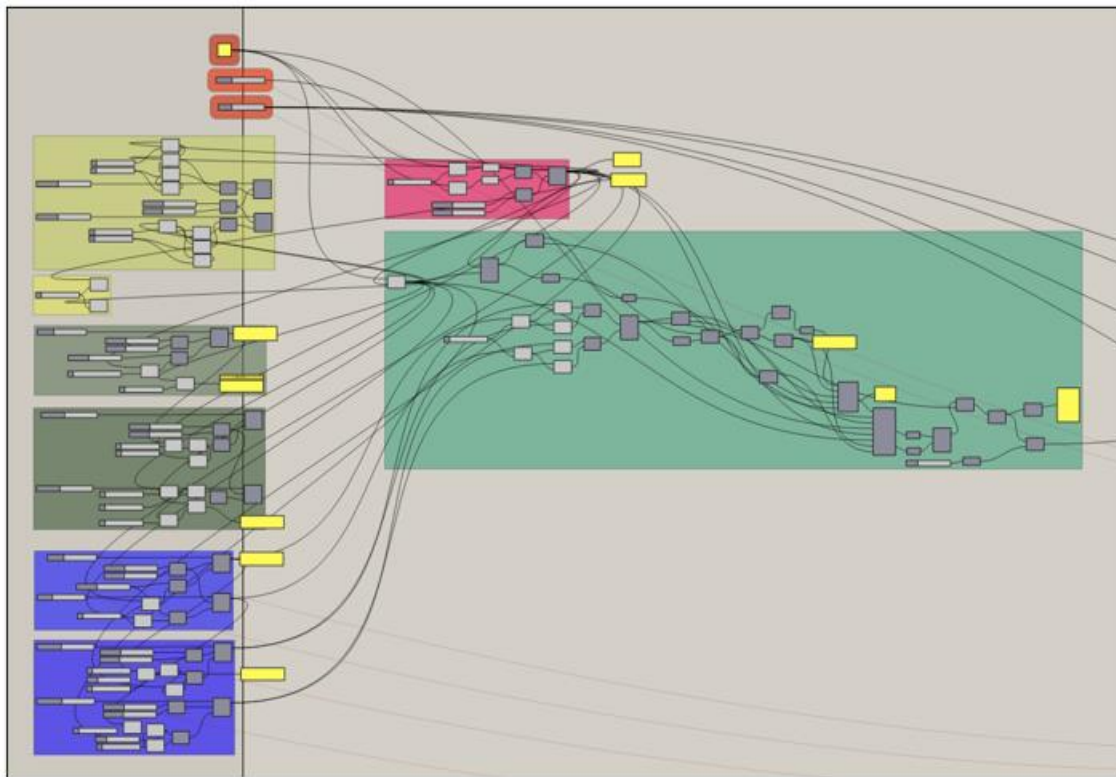
۲-۴- شبیه‌سازی انرژی ساختمان:

انجام یک طراحی کارآمد برای به حداقل رساندن مصرف انرژی ساختمان نیازمند بیان کامل فرم ساختمان است [۲۲]. هندسه به عنوان یک عامل مهم و موثر بر مصرف انرژی ساختمان در نظر گرفته می‌شود در نتیجه با مدلسازی ساختمان و اجرای شبیه‌سازی انرژی روی فرم مورد نظر می‌توان میزان مصرف انرژی را در دوره‌های مختلف زمانی و بر اساس اقلیم سایت به دست آورد. متغیرهای مختلف مربوط به فرم ساختمان می‌تواند بر تقاضای گرمایش و سرمایش تأثیرگذار باشد. متغیرهای اساسی تر و مورد استفاده در تحقیق حاضر در جدول ذیل به اختصار توضیح داده شده‌اند:

در این پژوهش، شبیه‌سازی انرژی ساختمان با استفاده از پلاگین‌های هانی‌بی و لیدی‌باغ صورت گرفت که بعد از گرفتن ورودی فرم از بخش مدلسازی پارامتریک، در این مرحله تنظیمات مربوط به منطقه‌بندی، برنامه ساختمان، برنامه اقلیم و نوع بازشو انجام شد. برنامه ساختمان «آپارتمان» در نظر گرفته شد که نزدیک‌ترین حالت به بنای مسکونی مستقل است. در این پژوهه از

جدول ۲. پارامترهای لازم برای هر دسته فرم

| عرض مختصات مرکز پلان مکعب کم‌شونده | طول مختصات مرکز پلان مکعب کم‌شونده | عرض پلان مکعب کم‌شونده | طول پلان مکعب کم‌شونده | طول پلان مکعب اصلی | جهتگیری بنا | |
|------------------------------------|------------------------------------|------------------------|------------------------|--------------------|-------------|---------------|
| - | - | - | - | ✓ | ✓ | فرم مکعب کامل |
| ✓ | ✓ | - | - | ✓ | ✗ | فرم L |
| ✓ | ✓ | ✓ | - | ✓ | ✓ | فرم U |
| ✓ | ✓ | ✓ | ✓ | ✓ | ✓ | فرم O |



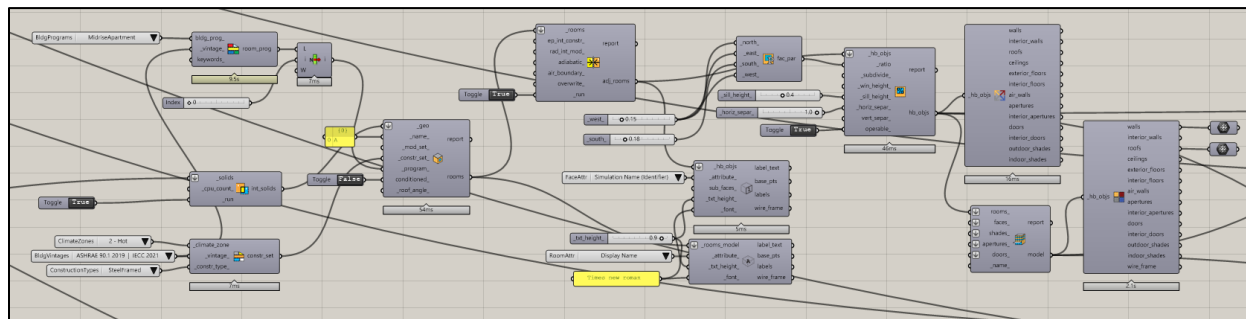
شکل ۴. شماتیکی بخش مدل‌سازی پارامتریک برنامه

نمودارهای اقلیمی توضیح داده می‌شود. این اطلاعات از گزارش سالانه موجود در سایت اینترنتی اداره کل هواشناسی استان یزد (yazdmet.ir) استخراج شده است.

با توجه به گزارش سالانه اداره کل هواشناسی استان یزد، بر مبنای طبقه‌بندی اقلیمی دو مارتون شهر یزد دارای اقلیم خشک است. همچنین با در نظر گرفتن روش ایوانف نیز اقلیم یزد اقلیم صحرا ای است. در زیر پارامترهای اقلیمی شهر یزد به همراه جداول و

جدول ۳. متغیرهای مربوط به فرم و شکل مورد استفاده در پژوهش

| نام متغیر | تعریف | نمونه کاربرد در مقالات |
|------------------|---|--|
| شخص فشرده‌گی | نسبت بین حجم یک ساختمان و سطح بیرونی نمای ساختمان | بکوچه و همکاران [۲۳] تاثیر شاخص فشرده‌گی بر رفتار حرارتی ساختمان در اقلیم گرم خشک و همچنین اهمیت در نظر گرفتن پارامترهای هندسی در مرحله طراحی ساخت و ساز را به دلیل تأثیر آنها در به حداقل رساندن مصرف انرژی و بهبود دمای داخلی مورد برسی قرار دادند. نتایج شبیه‌سازی شده این مطالعات نشان داد که فشرده‌گی بیشتر در ساختمان در اقلیم یاد شده می‌تواند منجر به آسایش حرارتی بیشتر داخل ساختمان شود. (نتیجه این تحقیق به عنوان یکی از عوامل صحبت سنگی پژوهه حاضر مورد استفاده قرار می‌گیرد). |
| فاکتور شکل | نسبت طول ساختمان به عرض آن | اکسوی و اینالی [۲۴] بیان کردند که در نتیجه بهینه سازی جهت و شکل ساختمان می‌توان به صرفه جویی در انرژی تا ۳۶ درصد در بارهای گرمایشی دست یافت. |
| جهت‌گیری ساختمان | زاویه محور عرضی ساختمان نسبت به شمال جغرافیایی | مینگ فانگ [۲۵] همچنین تأثیر پارامترهای شکل ساختمان مانند طول، عمق و عرض ساختمان را بر دریافت تابش خورشیدی توسط یک ساختمان لوله‌ای مطالعه کرد. نتایج این تحقیق نشان داد که بهینه ترین جهت برای این نوع ساختمان جنوب است، زیرا ساختمان حداکثر تابش را در زمستان دریافت می‌کند و گرما را در تابستان کنترل می‌کند. |



شکل ۵. بخش شبیه‌سازی انرژی ساختمان

پارامترهای اقلیمی:

جدول ۴ خلاصه وضعیت پارامترهای جوی ایستگاه هواشناسی فرودگاه یزد را به تفکیک ماههای سال در دوره آماری بین سال‌های ۱۳۹۰ تا ۱۳۹۸ نشان می‌دهد.

جدول ۳. خلاصه وضعيت پارامترهای جوی ایستگاه هواشناسی فرودگاه یزد

| پارامتر ماه | میانگین دمای کمینه | میانگین دمای بیشینه | میانگین دمای مجموع بارش | میانگین رطوبت نسبی | تعداد روزهای یخبندان | تعداد روزهای بارانی | تبخیر (میلیمتر) |
|----------------|--------------------|---------------------|-------------------------|--------------------|----------------------|---------------------|-----------------|
| فروردین | ۱۱/۳ | ۲۴/۹ | ۱۰/۲ | ۳۱/۳ | ۰/۱ | ۴/۴ | ۲۴۸/۷ |
| اردیبهشت | ۱۶/۹ | ۳۱ | ۲۴ | ۲۵/۲ | ۰ | ۳/۳ | ۳۴۹/۵ |
| خرداد | ۲۲ | ۳۶/۷ | ۲۹/۴ | ۱۶/۶ | ۰ | ۰/۷ | ۴۶۲/۷ |
| تیر | ۲۵/۴ | ۴۰ | ۳۲/۷ | ۱۵/۲ | ۰ | ۰/۲ | ۵۱۸/۷ |
| مرداد | ۲۳/۷ | ۳۸/۹ | ۳۱/۳ | ۱۵/۱ | ۰ | ۰/۲ | ۴۸۴/۴ |
| شهریور | ۲۰/۲ | ۳۶/۱ | ۲۸/۱ | ۱۵/۷ | ۰ | ۰/۱ | ۳۸۸/۷ |
| مهر | ۱۴/۷ | ۳۰/۱ | ۲۲/۴ | ۲۱/۹ | ۰ | ۰/۵ | ۲۵۴ |
| آبان | ۸/۴ | ۱۶/۱ | ۹/۴ | ۳۴/۹ | ۰/۳ | ۱/۹ | ۱۴۹/۶ |
| آذر | ۲/۷ | ۱۶/۱ | ۸/۵ | ۴۵/۴ | ۶/۳ | ۳/۸ | ۶۷ |
| دی | ۰/۵ | ۱۳/۵ | ۷/۰ | ۵۰/۱ | ۱۲/۴ | ۴/۲ | ۲۲ |
| بهمن | ۱/۷ | ۱۴/۸ | ۸/۳ | ۴۴/۹ | ۹/۸ | ۳/۸ | ۱۶/۳ |
| اسفند | ۵/۹ | ۱۹/۵ | ۱۲/۷ | ۳۵/۹ | ۲/۲ | ۳/۹ | ۱۱۹/۱ |

۲۱۴ ساعت گزارش شده است. نمودار شکل ۶ میانگین دمای کمینه طی سال‌های ۱۳۶۱ تا ۱۳۹۸ را نشان می‌دهد. با توجه به این نمودار مشخص است که دمای میانگین کمینه هر سال رو به افزایش است.

نمودار شکل ۷ نیز میانگین دمای بیشینه سالانه طی سال‌های ۱۳۶۱ تا ۱۳۹۸ را نشان می‌دهد. در این نمودار نیز مشاهده می‌شود میانگین بیشینه دما در طی این سالها رو به رشد بوده لیکن نرخ رشد این دما نسبت به نمودار مربوط به میانگین کمینه دما کمتر است.

نمودار شکل ۸ پارامترهای پنج گانه دمای ایستگاه یزد در مقیاس ماهانه را نشان می‌دهد.

نمودار شکل ۹ نیز مجموع ساعات آفتابی ایستگاه یزد در مقیاس ماهانه را نشان می‌دهد.

روطوبت نسبی: طبق تعریف واژه‌نامه انجمن هواشناسی آمریکا رطوبت نسبی، نسبت فشار بخار به فشار بخار اشاع نسبت به آب است. رطوبت نسبی معمولاً بر حسب درصد بیان می‌شود و می‌تواند از طریق داده‌های سایکرومتری محاسبه شود. میانگین رطوبت نسبی سالانه ایستگاه یزد حدود ۲۹ درصد است، اما در ماههای گرم

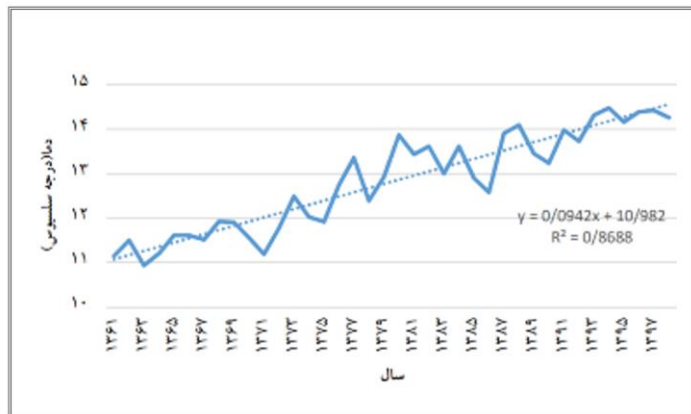
دما: در هواشناسی منظور از دمای هوای یک شهر یا یک منطقه، دمایی است که توسط دماسنجه در یک پناهگاه هواشناسی (جمعه اسکرین) اندازه‌گیری می‌شود. (پناهگاه هواشناسی یا جمعه اسکرین محفظه‌ایست که در ارتفاع ۱/۲۵ تا ۲ متری از سطح زمین و در مسیر جریان مستقیم هوا و به دور از تابش مستقیم خورشید نصب می‌شود).

با توجه به آمار بلندمدت، میانگین دمای سردترین ماه سال، دی ماه، برابر با ۷/۶ درجه سلسیوس و میانگین دمای گرمترین ماه سال، تیر ماه، برابر با ۳۳/۲ درجه سلسیوس است. همچنین میانگین دمای کمینه و بیشینه ایستگاه یزد برتری ۱۳/۵ و ۲۷/۴ و میانگین دمای سالانه ۲۰/۵ درجه سلسیوس می‌باشد.

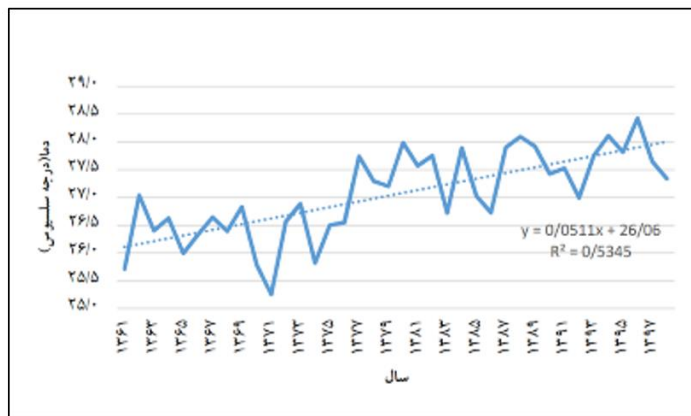
تعداد روزهای یخبندان ایستگاه یزد به طور میانگین ۳۳ روز در سال است. فصل زمستان با ۲۶ روز و فصل پاییز با ۷ روز یخبندان، بیشترین روزهای یخبندان را به خود اختصاص داده‌اند. همچنین ماه دی با میانگین ۱۳ روز در سال بیشترین تعداد روزهای همراه با یخبندان را دارا می‌باشد. میانگین مجموع ساعات آفتابی سالانه ایستگاه یزد ۳۴۱۸ ساعت است که بیشترین ساعات آفتابی در ماه مرداد با حدود ۳۶۰ ساعت و کمترین آن هم در آذر ماه با حدود

ماههای دی و آذر به ترتیب با میانگین رطوبت نسبی ۴۸ و ۴۶ درصد است. نمودار شکل ۱۰ میانگین رطوبت نسبی ایستگاه یزد در مقیاس سالانه بین سالهای ۱۳۶۱ تا ۱۳۹۸ را نشان می‌دهد. نمودار شکل ۱۱ میانگین رطوبت نسبی ایستگاه یزد در مقیاس ماهانه را نشان می‌دهد.

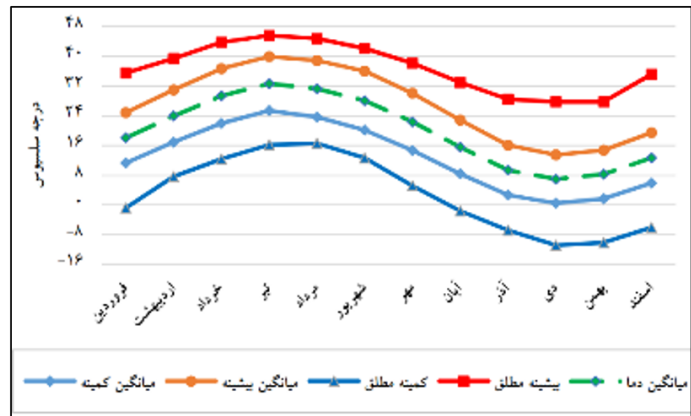
سال یعنی ماههای خرداد تا شهریور، رطوبت نسبی منطقه بسیار پایین می‌آید به طوری که ماههای تیر و مرداد با میانگین رطوبت نسبی ۱۵ درصد کم رطوبت‌ترین ماههای سال را دارا هستند. اما در ماههای سرد سال یعنی آذر تا بهمن نسبت به سایر ماههای سال میزان رطوبت نسبی بالاتر است. بالاترین رطوبت هم مربوط به

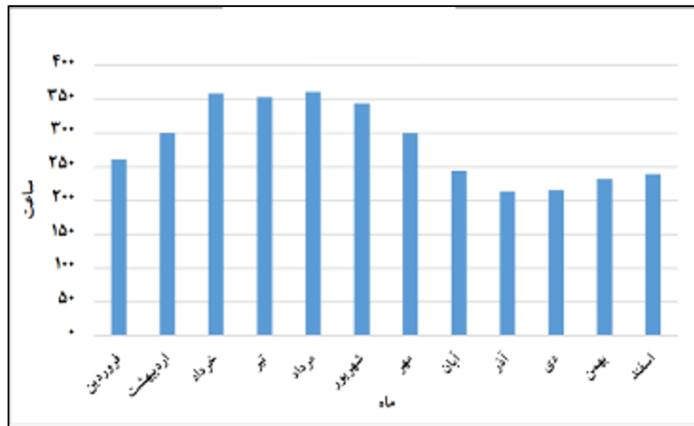


شکل ۶. میانگین دمای کمینه در بازه سال‌های ۱۳۹۸ تا ۱۳۶۱

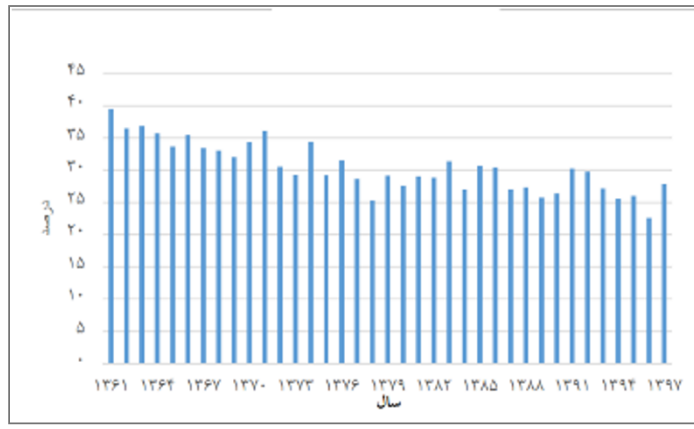


شکل ۷. میانگین دمای بیشینه در بازه سال‌های ۱۳۹۸ تا ۱۳۶۱

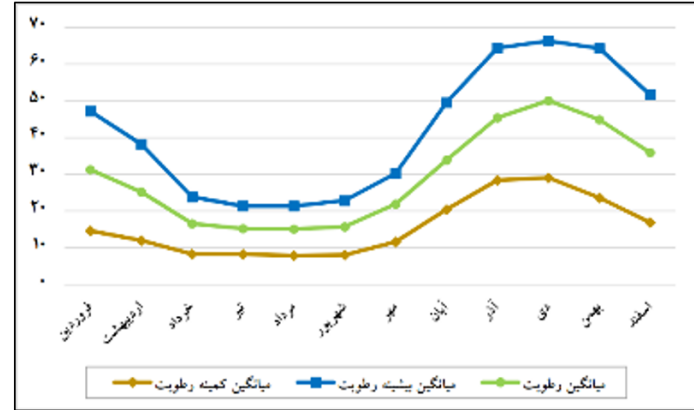




شکل ۹. مجموع ساعتی آفتایی ایستگاه یزد در مقیاس ماهانه



شکل ۱۰. میانگین رطوبت نسبی در مقیاس سالانه در بازه سال‌های ۱۳۶۱ تا ۱۳۹۸



شکل ۱۱. میانگین رطوبت نسبی ایستگاه یزد در مقیاس ماهانه

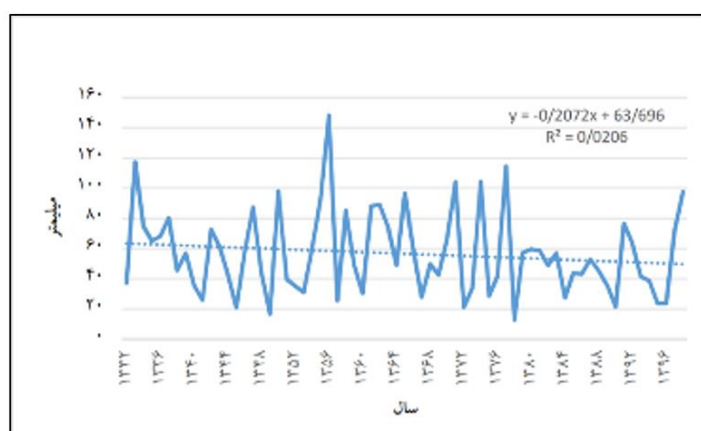
میانگین ۲۶/۷ میلیمتر و پس از آن فصل‌های بهار و پاییز به ترتیب با میانگین بارش ۱۶/۳ و ۱۲/۵ میلیمتر در مرتبه‌های بعدی قرار دارند و فصل تابستان هم با میانگین بارش ۰/۴ میلیمتر کم‌بارش‌ترین فصل سال یا خشک‌ترین فصل است. میانگین مجموع بارش سالانه ایستگاه یزد ۵۶/۳ میلیمتر می‌باشد. میانگین تعداد روزهای توان با بارندگی سالانه ایستگاه ۲۵ روز است که بیشترین

بارندگی: بارندگی به عنوان پیدایش ذرات آب، خواه مایع یا جامد و فروباریدن آن بر زمین تعريف می‌شود. بارش به کمک باران‌سنج و بر حسب میلیمتر اندازه گرفته می‌شود. فصل بارش شهرستان یزد منطبق بر فصل سرد و اوایل بهار یعنی ماههای آذر تا فروردین است. پربارش‌ترین ماههای سال هم ماههای فروردین و دی با میانگین ۱۰ میلیمتر هستند. از لحاظ فصلی هم فصل زمستان با

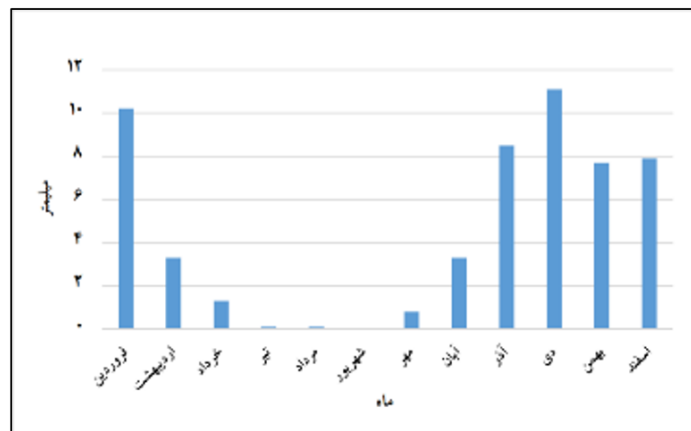
نمودار شکل ۱۴ بیشینه سرعت باد ایستگاه یزد را در مقیاس سالانه بین سال‌های ۱۳۶۱ و ۱۳۹۸ نشان می‌دهد. نمودار شکل ۱۵ نیز بیشینه سرعت باد ایستگاه یزد را در مقیاس ماهانه نشان می‌دهد. همچنین نمودار شکل ۱۶ توزیع فراوانی ایستگاه یزد بر اساس جهت وزش باد را بین سال‌های ۱۹۶۰ تا ۲۰۱۹ میلادی نشان می‌دهد. نمودار شکل ۱۷ نیز توزیع فراوانی باد ایستگاه یزد براساس سرعت بروز باد را بین سال‌های ۱۹۶۰ تا ۲۰۱۹ میلادی نشان می‌دهد. بر اساس تحقیق جهانی‌خش و اسماعیل‌پور در سال ۱۳۸۳ [۲۸] در طراحی بازشوها در شهر یزد باید دقت شود که بازشوها بایستی کوچک بوده و کمتر از ۲۰٪ مساحت دیوار را شامل شوند. از این جهت در بخش شبیه‌سازی بازشوها، ۱۵٪ برای نسبت سطح پنجره به دیوار (تمامی دیوارهای خارجی) در نظر گرفته شد. همچنین نوع اقلیم انتخابی به عنوان یکی از تنظیمات بخش شبیه‌سازی انرژی برای اقلیم یزد، «گرم» در نظر گرفته شد. شکل ۱۸ مدلی از طرح ساختمان به عنوان وردی شبیه‌ساز آسایش را نشان می‌دهد.

تعداد روزهای بارندگی ایستگاه مربوط به فصل زمستان و در حدود ۱۱ روز است. نمودار شکل ۱۲ مجموع بارش سالیانه ایستگاه یزد، میانگین سالهای ۱۳۳۲ تا ۱۳۹۶ را نشان می‌دهد. نمودار شکل ۱۳ میانگین بارش ماهانه ایستگاه یزد را در طول سال نشان می‌دهد.

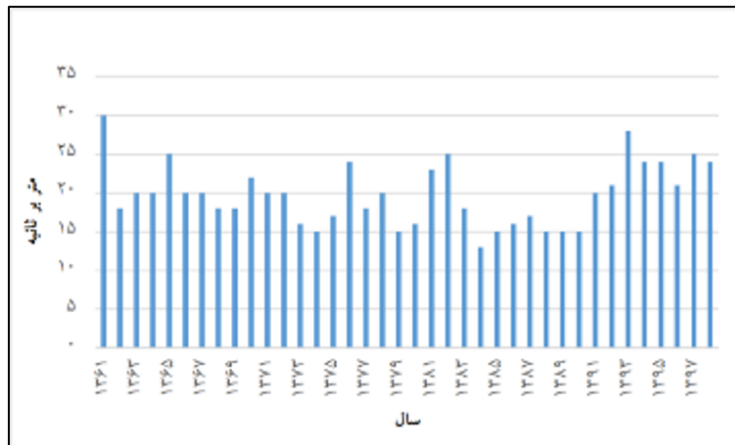
باد: باد به عنوان هوای در حال حرکت نسبت به سطح زمین تعريف می‌شود. از آنجا که اجزای عمودی حرکت جوی، به ویژه در نزدیکی سطح زمین، نسبتاً کوچک هستند، هواشناسان از این اصطلاح برای نشان دادن منحصرآ مولفه افقی باد استفاده می‌کنند. بادهای سطحی با بادستجو و بادنما اندازه‌گیری می‌شوند. بادهای فوقانی با سامانه‌هایی نظیر بالون خلبان، رادیوسوند و یا تکنیک‌های ناوبری هواپیما اندازه‌گیری می‌شوند. جهت باد غالب ایستگاه یزد به ترتیب فراوانی، غربی، شمال غربی و جنوب شرقی است از میانگین سرعت باد سالانه یزد هم $2/4$ متر بر ثانیه است.



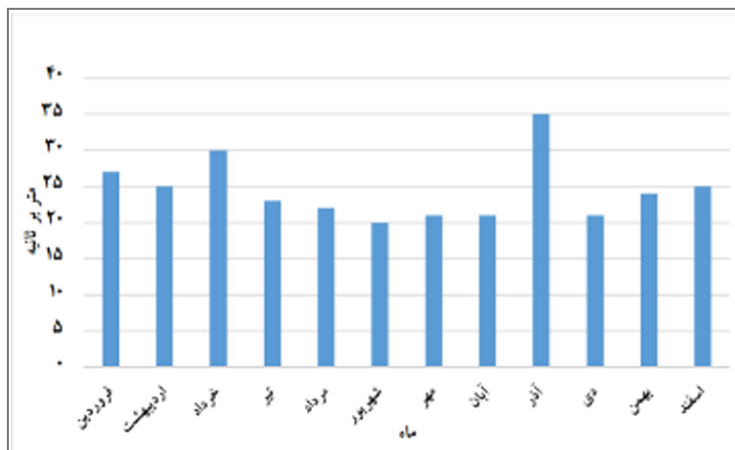
شکل ۱۲. مجموع پارش سالیانه ایستگاه یزد بین سالهای ۱۳۳۲ تا ۱۳۹۶



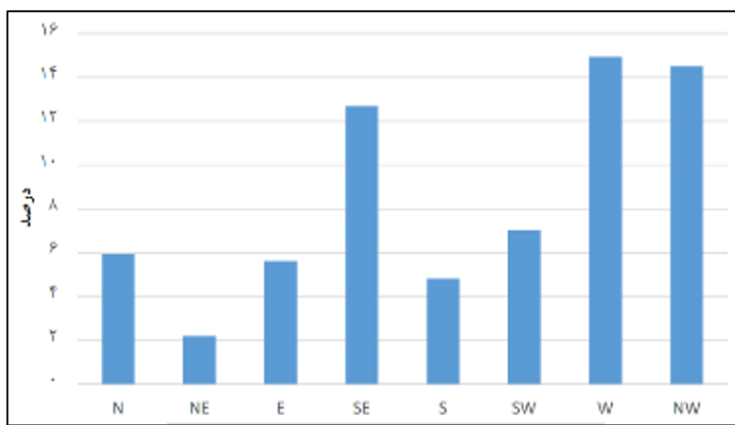
شکل ۱۳. میانگین پارش ماهانه ایستگاه یزد



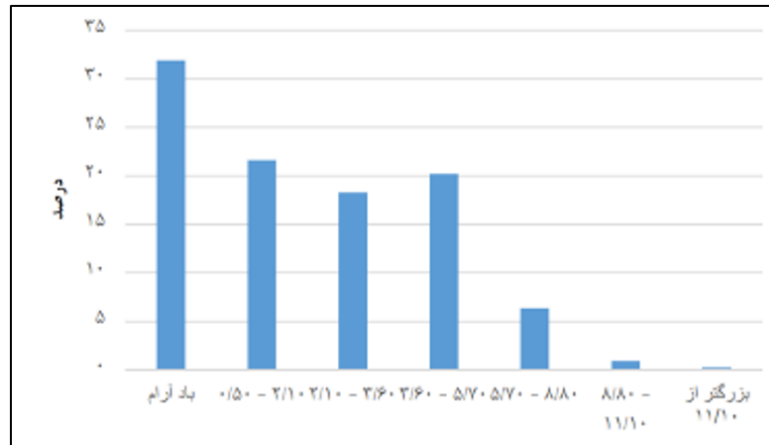
شکل ۱۴. بیشینه سرعت باد ایستگاه یزد در بازه سال‌های ۱۳۶۱ و ۱۳۹۸



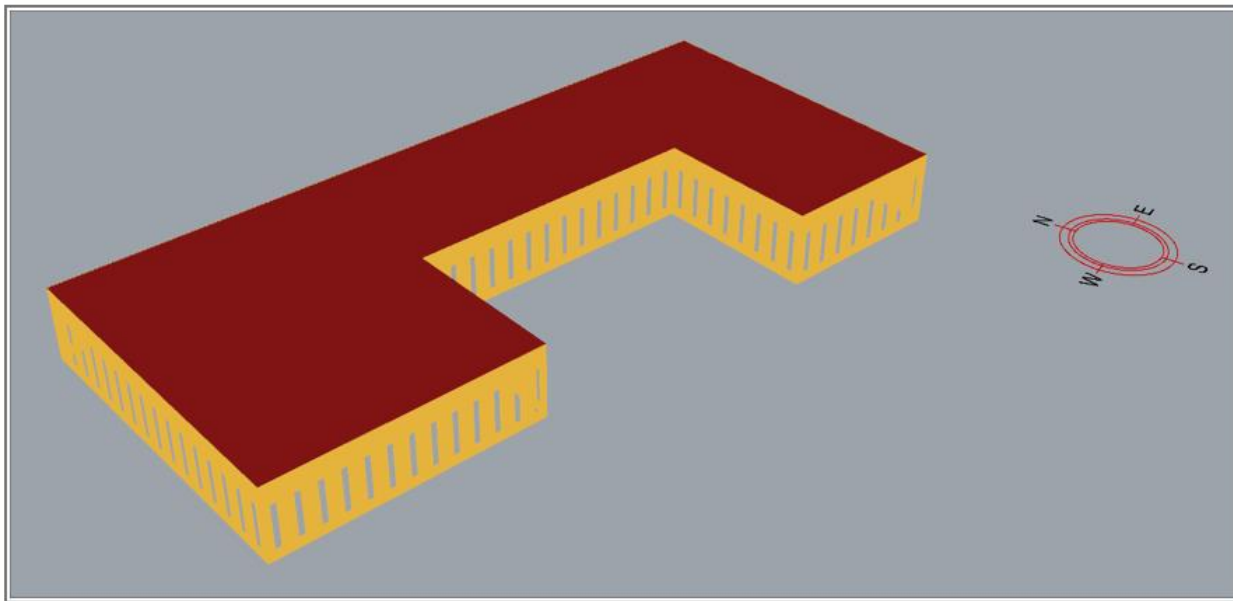
شکل ۱۵. بیشینه سرعت باد در مقیاس ماهانه



شکل ۱۶. توزیع فراوانی جهت باد ایستگاه یزد در بازه سال‌های ۱۹۶۰ تا ۲۰۱۹ میلادی



شکل ۱۷. توزیع فراوانی سرعت وزش باد ایستگاه یزد بین سال‌های ۱۹۶۰ تا ۲۰۱۹ میلادی



شکل ۱۸. نمونه‌ای از مدل ورودی به شبیه‌ساز آسایش حرارتی و آسایش بصری

دماهی تعریف شد که در آن فرد از نظر حرارتی خنثی یا "راحت" است. مطالعات آنها بر اساس کارهای آزمایشگاهی و میدانی بود که در آن افراد تحت شرایط مختلف از نظر حرارتی بررسی شدند. نتایج آزمایشات آنها با استفاده از تحلیل رگرسیون مورد تجزیه و تحلیل آماری قرار گرفت. و مدلی به نام ادپتیو را برای بررسی میزان آسایش حرارتی داخل بنا طرح ریزی کردند. نتایج آزمایشات آنها با استفاده از تحلیل رگرسیون مورد تجزیه و تحلیل آماری قرار گرفت [۳۱]. پلاگین هانی‌بی و لیدی‌بگ نرم‌افزار گرسهایپر دارای کامپوننتی برای محاسبه میزان آسایش حرارتی بر اساس مدل ادپتیو است که با جایگذاری سنسورها در مدل و دریافت داده‌های آب و هوایی با اتصال به بخش شبیه‌سازی انرژی ساختمان می‌توان محاسبات مربوطه را انجام داد. در این پژوهش از این کامپوننت جهت به دست آوردن دمای عملکرد داخل بنا به عنوان شاخص بهینه‌سازی استفاده

۳-۴- آسایش حرارتی:

تحقیقی که توسط اروپا و اولیویرا در سال ۲۰۱۱ [۲۹] انجام گرفت نشان داد که در ساختمان‌هایی که صرفاً دارای تهویه طبیعی تنها مدل ادپتیو است که پیش‌بینی دقیقی از آسایش حرارتی ارائه می‌دهد. این در حالی است که برای ساختمان‌های دارای سرمایش و گرمایش و تهویه مطبوع (HVAC) (شاخص Predicted Mean Vote (PMV)) پیش‌بینی موفقی داشته است. بر اساس یافته‌های این تحقیق، با توجه به اینکه تنها تهویه طبیعی برای پژوهش حاضر در نظر گرفته شده است از مدل ادپتیو برای به دست آوردن شاخص آسایش حرارتی استفاده شد.

مدل ادپتیو: هامفریز و اولیسیمزدر سال ۱۹۹۸ [۳۰] خنثی بودن حرارتی بدن انسان را بررسی کردند. درجه حرارت خنثی به عنوان

ساختمان‌های با جهتگیری شمال غربی - جنوب شرقی نیز از نظر دریافت تابش خورشید دارای شرایط مناسبی بودند، اما تحت تأثیر بادهای شمال غربی و جنوب شرقی قرار داشتند. نتایج این تحقیق به عنوان یکی از عوامل صحت سنجی پژوهه حاضر مورد استفاده قرار می‌گیرد.

بر طبق داده‌های آب و هوايی فرودگاه شهيد صدوقي شهر يزد بر اساس ماههای ميلادي، گرمترین هفته سال در شهر يزد از روز ۳ آم ۹۶ ماه ژونيه و سردترین هفته سال از روز ۱۱۷ آم ۹۶ ماه زانويه می‌باشد. بر اساس مطالعات اقليمي صورت گرفته و با توجه به اينکه يك دوره بحراني سال به لحاظ انرژي در گرمترین هفته سال است، طراحی بهينه بر اساس روزهای (۸ صبح تا ۶ عصر) گرمترین هفته سال برای آسایش حرارتی شهر يزد صورت گرفت. شمای کلی بخش آسایش حرارتی تهیه شده در نرم افزار گرسهاپر د. شکا ۱۹: آمده شده است.

۴-۴ آساش، بصری

به طور کلی آسایش بصری به عنوان یک واکنش ذهنی به کمیت و کیفیت نور در هر فضای معین در یک زمان معین تعریف می‌شود. تعریفی کاملاً دقیق و پذیرفته شده از راحتی انسان وجود ندارد، اما معیارهای متعددی برای تعیین میزان استقبال کاربران از محیطها، اشیاء یا رابطها وجود دارد. نور کم و زیاد می‌تواند باعث ناراحتی سیناپ شود [۳۲].

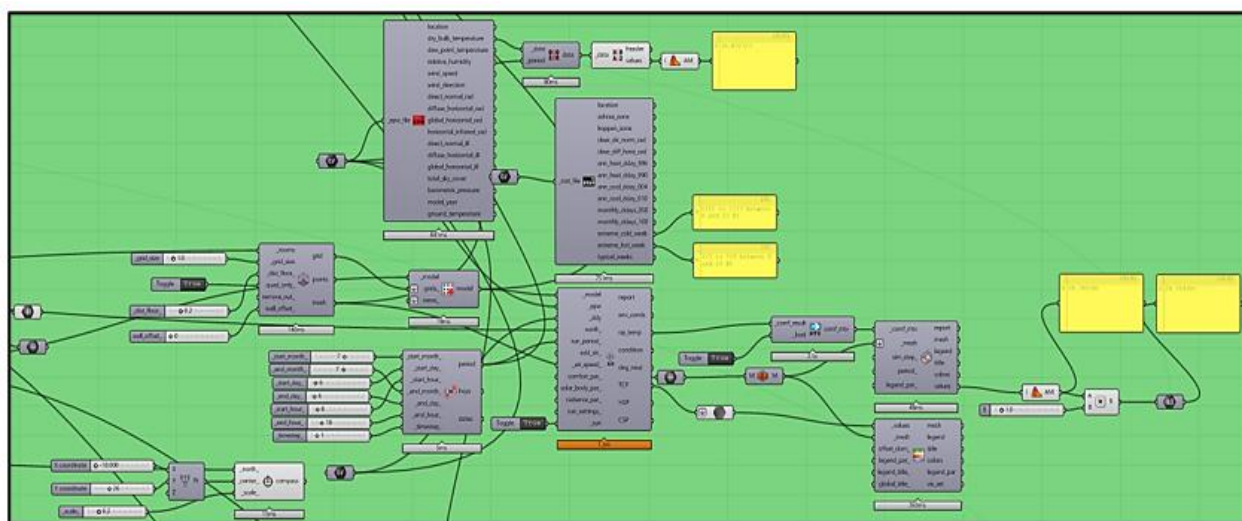
شده است. سنسورها روی یک شبکه با فواصل ۱ متر با فاصله ۲۰ سانتی‌متری از کف قرار گرفته‌اند.

شرایط آسایش حرارتی در شهر یزد: شرایط آسایش انسان در شهر یزد طبق پژوهش جهانبخش و اسماعیل پور در سال ۱۳۸۳ [۲۸] به صورت زیر است:

در شب: در شهر بیزد هوای شب های هفت ماه از سال (سپتامبر تا نومبر و فوریه تا مه) قدری سرد بوده و شب های ماه های دسامبر و زانویه کاملاً سرد است . فقط در هوای شب های سه ماه زوئن، زوئیه و اوت شرایط آسایش برقرار می باشد.

در روز از ماههای دسامبر تا فوریه، هوای روزها قدری سرد بوده و در روزهای ماههای مارس و نوامبر هوا خنک می باشد. در طول روزهای ماههای آوریل و اکتبر، شرایط آسایش برقرار بوده و در ماههای مه و سپتامبر، روزها گرم می شوند. بدترین شرایط هوای روزانه مربوط به سه ماه زوئن، ژوئیه و اوت است که هوا داغ مم باشد.

در ارتباط با جهتگیری ساختمان‌ها در شهر یزد تحقیقی توسط فلاچپور [۲۷] در سال ۱۳۹۴ نشان داد که برای تأمین آسایش ساکنان، اکثر ساختمان‌ها در مجتمع‌های مسکونی واقع در شهر یزد دارای دو جهتگیری شمالی - جنوبی و شمال غربی - جنوب شرقی هستند. این تحقیق نشان داد ساختمان‌هایی که در جهت شمالی جنوبی واقع شده بودند، کمتر تحت تأثیر بادهای شدید فصل گرم و سرد قرار داشتند اما در فصل گرم تابیش بالایی، در ریافت می‌کردند.



شکل ۱۹. بخش آسایش حرارتی برنامه

مدل سازی نور روز مبتنی بر آب و هوا هستند، یعنی امکان ارزیابی نور روز بر اساس داده‌های آب و هوا واقعی برای یک مکان معین را دارند. با این حال، فاکتور DA هیچ محدودیت بالایی از نظر سطوح روشنایی ندارد. در مقابل، UDI به عنوان درصدی (%) تعريف می‌شود که نشان‌دهنده تعداد ساعتیانه ساعتی است که روشنایی ارائه شده توسط روشنایی روز در محدوده مفیدی قرار دارد که برای جلوگیری از احتمال ناراحتی بصری در نظر گرفته شده است.[۳۲]

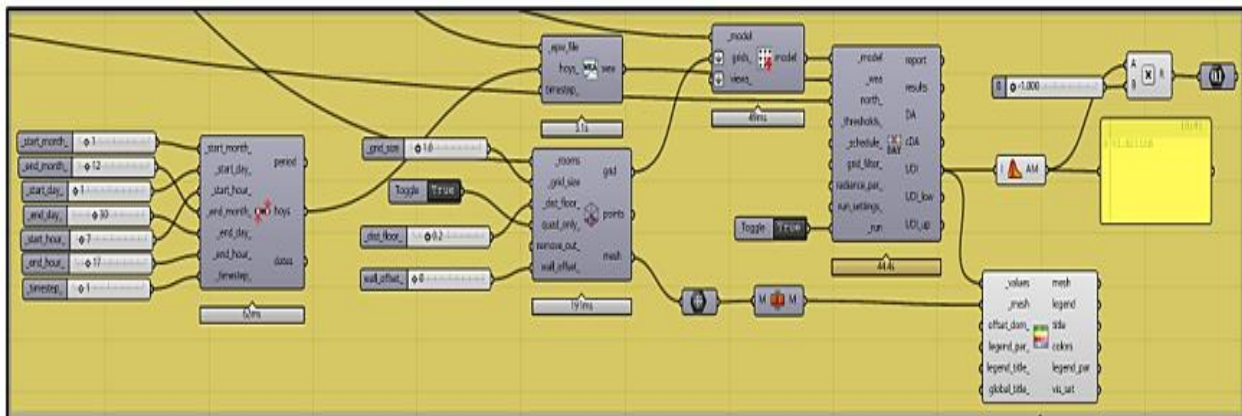
در این پژوهش از شاخص UDI برای بهینه‌سازی و یافتن بهینه فرم استفاده شده است. معیار زمانی در نظر گرفته شده کل روزهای سال از ساعت ۸ صبح تا ۶ عصر بوده است. این شاخص از طریق کامپوننت انوال دیلایت (Annual Daylight) واقع در پلاگین‌هایی ریدیانس (Radiance) با اتصال به خروجی بخش شبیه‌سازی انرژی ساختمان قابل دستیابی است. محدوده ۳۰۰ تا ۳۰۰۰ لوکس به عنوان محدوده مفید نور روز در نظر گرفته شد. هدف بیشینه کردن این شاخص برای بهره‌برداری مطلوب‌تر از نور روز جهت کاهش مصرف انرژی می‌باشد. شکل ۲۰ شماتیک کلی بخش آسایش بصری برنامه را نشان می‌دهد.

جدول ۵ نتایج میانگین دمای عملکرد و UDI به همراه گرافیک دمای دریافتی سنسورها در پلان برای ۱۰ نمونه تصادفی از فرم L پلان با پارامترهای متفاوت با در نظر گرفتن اقلیم شهر بزد و مساحت ۶۵۰ متر مربع را نشان می‌دهد. از مقادیر دمای عملیاتی و UDI میانگین به دست آمده در این نمونه‌های تصادفی برای مقایسه با حالت‌های مطلوب نمونه‌های بهینه استفاده می‌شود.

یکی از شاخص‌های مهم در ارتباط با آسایش بصری مصرف کنندگان ساختمان‌ها مقدار نور طبیعی در طول سال است. این معیار مرتبط با پتانسیل یک فضای ساختمان در تامین نور روز کافی برای ساکنین است. به طور معمول، با کفايت نور روز (DA: Daylight Autonomy) یا روشنایی مفید نور روز (UDI: Useful Daylight Illuminance) معيارها می‌توان برای تجزیه و تحلیل و ارزیابی گزینه‌های مختلف طراحی استفاده کرد تا مشخص شود کدام طراحی بر اساس نور روز قابلیت استفاده بیشتری را در فضای داخلی فراهم می‌کند.[۳۲]

کفايت نور روز به عنوان درصدی از دوره عملکرد (یا تعداد ساعتی) تعريف می‌شود که سطح خاصی از نور در طول سال برآورده شود. روشنایی مفید نور روز (UDI) اصلاحی از کفايت نور روز است که توسط مردانژویک و نبیل (۲۰۰۵) طراحی شده است [۳۲]. این شاخص نسبتی از دوره اشغال در طول یک سال است که روشنایی افقی در یک نقطه مشخص، در محدوده معینی باشد. با در نظر گرفتن مقادیر حد پایین و حد بالای روشنایی، محدوده زمانی ارزیابی شده به سه قسمت تقسیم می‌شود: مدت زمانی که روشنایی ناشی از نور روز بسیار کم است (UDI_{Underlit})، مقدار مناسبی دارد (UDI_{Useful}) و یا به قدری زیاد است (UDI_{Overlit}) که منجر به نبود آسایش بصری می‌شود. مقادیر تعیین شده حد بالا و پایین برای این شاخص در منابع مختلف متفاوت است، اما عموماً مقدار ۳۰۰ تا 3000 لوکس با عنوان محدوده کفايت نور پیشنهاد می‌شود.

UDI و DA دو مورد از متداول ترین معیارهای دینامیک برای ارزیابی تامین روشنایی روز هستند. هر دو معیار مبتنی بر منطق



شکل ۲۰. بخش آسایش بصری برنامه

جدول ۵. نتایج شبیه سازی برای ۱۰ نمونه تصادفی از فرم L با در نظر گرفتن اقلیم یزد و مساحت ۶۵۰ متر مربع

| ردیف | نمونه | نمونه ۱ | نمونه ۲ | نمونه ۳ | نمونه ۴ | نمونه ۵ | نمونه ۶ | نمونه ۷ | نمونه ۸ | نمونه ۹ | نمونه ۱۰ |
|------|------------|--|--|--|---|--|---------|---------|---------|---------|----------|
| ۱ | UDI | | | | | | | | | | |
| ۲ | مشخصات کلی | حالت پنجم | حالت چهارم | حالت سوم | حالت دوم | حالت اول | | | | | |
| ۳ | مشخصات کلی | میانگین دمای ۲۸/۸ عملکرد: ۹۴/۲: UDI میانگین. | میانگین دمای ۲۸/۸ عملکرد: ۹۳/۴: UDI میانگین. | میانگین دمای ۲۸/۹ عملکرد: ۹۳/۳: UDI میانگین. | میانگین دمای ۲۹/۱: UDI عملکرد: ۹۲/۸ میانگین | میانگین دمای ۲۸/۶ عملکرد: ۹۳/۷: UDI میانگین. | | | | | |
| ۴ | ردیف | | | | | | | | | | |
| ۵ | UDI | | | | | | | | | | |
| ۶ | مشخصات کلی | حالت دهم | حالت نهم | حالت هشتم | حالت هفتم | حالت ششم | | | | | |
| ۷ | مشخصات کلی | میانگین دمای ۲۸/۸ عملکرد: ۹۳/۸: UDI میانگین | میانگین دمای ۲۸/۵ عملکرد: ۹۳/۵: UDI میانگین | میانگین دمای ۲۸/۶ عملکرد: ۹۳/۵: UDI میانگین | میانگین دمای ۲۸/۶ عملکرد: ۹۴: UDI میانگین | میانگین دمای ۲۹/۱: UDI عملکرد: ۹۳/۹: UDI میانگین | | | | | |

پلاگین اکتاپوس: اکتاپوس یک پلاگین گرسهایر است و جهت بهینه سازی به کار می رود. این پلاگین از الگوریتم ژنتیک برای بهینه سازی استفاده می کند و به کاربر اجازه می دهد تا بهینه سازی تک یا چند هدفه را اجرا کند. این پلاگین دارای یک گزینه برای انتخاب پارامترهای متنوع است که زمینه جستجوی راه حل ها را

بهینه سازی
بهینه سازی برای ۴ فرم اصلی به صورت جداگانه با استفاده از الگوریتم ژنتیک انجام گرفت. در این راستا از پلاگین اکتاپوس وابسته به نرم افزار گرسهایر استفاده شد. در ذیل توضیحاتی در ارتباط با این پلاگین آورده شده است.

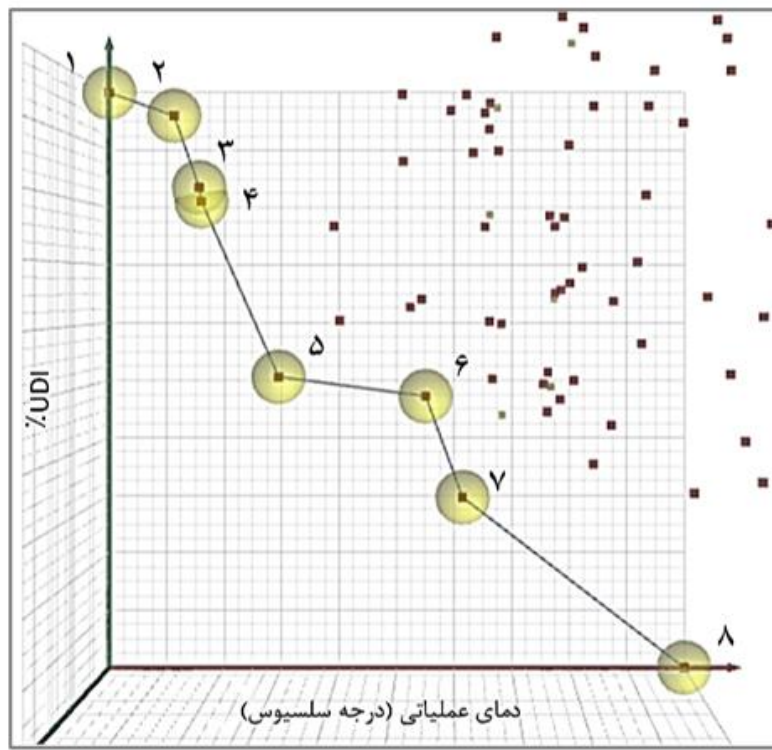
مساحت‌های مختلف زیرینا با در نظر گرفتن اقلیم گرم و خشک شهر یزد است. در پژوهش حاضر نقاط سر و انتهای نمودار پارتو بهینه‌سازی ۲ هدفه که به ترتیب نماینده کمینه دمای عملیاتی در طول گرمتین هفته سال و بیشینه UDI در طول سال هستند را نشان می‌دهد. (شکل ۲۱)

تنظیماتی که برای استفاده از موتور بهینه‌سازی اکتایپوس به کار رفت شامل موارد زیر است:

- تعداد جمعیت اولیه ۸۵ عدد
- شرط اتمام بهینه‌سازی بیشینه تعداد نسل ۵ عدد
- ۵۰٪ انتخاب الیتها (Elitism)
- ۳۰٪ احتمال جهش (Mutation Probability)
- ۸۰٪ نرخ جهش (برای اطمینان از اینکه سطح وسیعی از جواب‌ها ارزیابی می‌شوند) (Mutation Rate)
- ۸۰٪ نرخ تقاطع (Crossover Rate)

افزایش می‌دهد و جدا از تعیین اندازه جمعیت برای هر نسل، کاربر را قادر می‌سازد تا حداکثر تعداد نسل را قبل از فرآیند بهینه‌سازی تنظیم کند. این موتور همچنین از قطع شدن بهینه‌سازی در صورت مواجهه با موارد غیرممکن جلوگیری می‌کند و هنگامی که به حداکثر زمان کار رسید به سراغ راحل بعدی می‌رود [۲۰]. در نهایت موتور پارتو ارایه می‌دهد که می‌توان بسته به شرایط بهینه روی جبهه پارتو ارایه می‌دهد که می‌توان بسته به شرایط جواب مناسب را از میان این نقاط برگزید.

در این تحقیق از پلاگین اکتایپوس وابسته به گرسهایپر برای بهینه‌سازی فرم ساختمان مسکونی بک طبقه ویلایی استفاده شد. مقادیر میانگین دمای عملیاتی و میانگین UDI سالانه به عنوان آجکتیوها (Objective) و پارامترهای طراحی توضیح داده شده در بخش پارامتریک در جدول ۲ به عنوان زن‌ها (Gene) به برنامه متصل شدند تا بهینه متغیرهای ورودی بر اساس بهینه شاخص‌ها به صورت دو هدفه به دست آید. هدف کمینه کردن دمای عملیاتی و بیشینه کردن UDI برای فرم‌های ۴ گانه یاد شده برای



شکل ۲۱. نمونه‌ای از نمودار پارتو و نقاط سر و انتهای منحنی در پلاگین Octopus (نقطه شماره ۱: سرنمودار پارتو و کمینه دمای عملیاتی، نقطه شماره ۸: انتهای نمودار پارتو و کمینه UDI)

نتایج

فرم O: جدول ۹ بهینه متغیرهای ورودی برنامه و مقادیر میانگین دمای عملیاتی و UDI برای جواب‌های پارتو (به تعداد ۱۱ عدد) با در نظر گرفتن فرم O را نشان می‌دهد.

نتایج برای مساحت زیربنای ۲۵۰ متر مربع:

فرم مکعب کامل: جدول ۱۰ بهینه متغیرهای ورودی برنامه و مقادیر میانگین دمای عملیاتی و UDI برای جواب‌های پارتو (به تعداد ۴ عدد) با در نظر گرفتن فرم مکعب کامل را نشان می‌دهد.

فرم L: جدول ۱۱ بهینه متغیرهای ورودی برنامه و مقادیر میانگین دمای عملیاتی و UDI برای جواب‌های پارتو (به تعداد ۸ عدد) با در نظر گرفتن فرم L را نشان می‌دهد.

فرم U: جدول ۱۲ بهینه متغیرهای ورودی برنامه و مقادیر میانگین دمای عملیاتی و UDI برای جواب‌های پارتو (به تعداد ۳ عدد) با در نظر گرفتن فرم U را نشان می‌دهد.

فرم O: جدول ۱۳ بهینه متغیرهای ورودی برنامه و مقادیر میانگین دمای عملیاتی و UDI برای جواب‌های پارتو (به تعداد ۵ عدد) با در نظر گرفتن فرم O را نشان می‌دهد.

نتایج بهینه‌سازی چندهدفه با هدف کمینه کردن متوسط دمای عملیاتی داخل بنا در گرمترين هفتاه سال در شهر یزد و بیشینه کردن UDI متوسط داخل بنا برای کل سال در شهر یزد برای ۴ مقدار مساحت زیربنای متفاوت (۲۵۰ مترمربع، ۳۵۰ مترمربع، ۴۵۰ مترمربع و ۶۵۰ مترمربع) در ذیل آورده شده است.

نتایج برای مساحت زیربنای ۲۵۰ متر مربع:

فرم مکعب کامل: جدول ۶ متغیرهای ورودی برنامه و مقادیر میانگین دمای عملیاتی و UDI برای جواب‌های پارتو (به تعداد ۶ عدد) با در نظر گرفتن فرم مکعب کامل را نشان می‌دهد.

فرم L: جدول ۷ بهینه متغیرهای ورودی برنامه و مقادیر میانگین دمای عملیاتی و UDI برای جواب‌های پارتو (به تعداد ۷ عدد) با در نظر گرفتن فرم L را نشان می‌دهد.

فرم U: جدول ۸ بهینه متغیرهای ورودی برنامه و مقادیر میانگین دمای عملیاتی و UDI برای جواب‌های پارتو (به تعداد ۴ عدد) با در نظر گرفتن فرم U را نشان می‌دهد.

جدول ۶. مقادیر بهینه‌یابی شده برای فرم مکعب کامل با در نظر گرفتن مساحت زیربنای ۲۵۰ مترمربع

| | (متر) B | (متر) A | جهتگیری بنا (تا ۳۶۰ درجه) | UDI (درصد) | دمای عملیاتی (°C) متوسط | شماره نقاط پارتو |
|---|---------|---------|---------------------------|------------|-------------------------|------------------|
| A | ۲۰/۸۹ | ۱۱/۹۶ | ۱۸۲ | ۹۲/۸۶۱ | ۲۹/۰۷۱ | ۱ |
| B | ۱۹/۹۰ | ۱۲/۵۵ | ۱۸۱ | ۹۲/۸۸۷ | ۲۹/۰۸۲ | ۲ |
| C | ۱۹/۹۱ | ۱۲/۵۴ | ۱۸۰/۷ | ۹۳/۰۳۷ | ۲۹/۰۸۴ | ۳ |
| D | ۱۹/۴۳ | ۱۲/۸۶ | ۱۷۸/۴ | ۹۳/۰۵۲ | ۲۹/۰۸۸ | ۴ |
| E | ۱۹/۳ | ۱۲/۹۴ | ۱۷۸/۲۱ | ۹۳/۱۱۵ | ۲۹/۰۸۹ | ۵ |
| F | ۱۳/۰۶ | ۱۹/۱۳ | ۲۲۷/۱۹ | ۹۳/۱۳۵ | ۲۹/۴۲۱ | ۶ |

جدول ۷. مقادیر بهینه‌یابی شده برای فرم L با در نظر گرفتن مساحت زیربنای ۲۵۰ مترمربع

| | (متر) D | (متر) C | (متر) B | (متر) A | جهتگیری بنا (تا ۳۶۰ درجه) | UDI (درصد) | دمای عملیاتی (°C) متوسط | شماره نقاط پارتو |
|---|---------|---------|---------|---------|---------------------------|------------|-------------------------|------------------|
| A | ۵/۳۷ | ۳/۷۱ | ۱۵/۸۴ | ۱۲/۷۱ | ۱۷۹/۷ | ۹۳/۲۳ | ۲۹/۱۵ | ۱ |
| B | ۷/۳۹ | ۳/۷۰ | ۱۳/۰۱ | ۱۲/۵۸ | ۱۷۹/۷ | ۹۳/۳۸ | ۲۹/۲ | ۲ |
| C | ۵/۸۴ | ۳/۴۱ | ۱۹/۶ | ۱۰/۶ | ۱۸۹/۲ | ۹۳/۳۹ | ۲۹/۲۲ | ۳ |
| D | ۶/۱۸ | ۳/۳۱ | ۲۱/۴۵ | ۹/۷۸ | ۱۸۶/۲ | ۹۳/۴۲ | ۲۹/۲۶ | ۴ |
| E | ۴/۶۰ | ۳/۴۸ | ۱۰/۹۱ | ۱۷/۱۳ | ۱۵۸/۱ | ۹۳/۴۷ | ۲۹/۳۶ | ۵ |
| F | ۷/۰۷ | ۳/۲۸ | ۸/۲۹ | ۱۷/۷۷ | ۱۸۶/۲ | ۹۳/۵۳ | ۲۹/۳۸ | ۶ |
| G | ۱۳/۴۲ | ۳/۲۴ | ۱۲/۵۸ | ۱۱/۲۸ | ۱۵۴/۲ | ۹۳/۵۲ | ۲۹/۵۶ | ۷ |

جدول ۸. مقادیر بهینه‌بایی شده برای فرم U با در نظر گرفتن مساحت زیربنای ۲۵۰ مترمربع

| شماره نقاط پارتو | دماهی عملیاتی (°C) متوسط | UDI (درصد) | جهتگیری بنا ۳۶۰ تا + درجه) | (مترا) A | (مترا) B | (مترا) C | (مترا) D | (مترا) F | نمودار |
|------------------|--------------------------|------------|----------------------------|----------|----------|----------|----------|----------|--------|
| ۱ | ۲۹/۴۲ | ۹۲/۱۰ | ۲۷۸/۲ | ۲۲/۰۹ | ۴/۴۷ | ۴/۴۱ | ۴/۷۳ | ۴/۰۵ | A |
| ۲ | ۲۹/۴۶ | ۹۲/۸۵ | ۱۷۹/۶ | ۹/۹۶ | ۱۶/۳۶ | ۳/۶۷ | ۳/۱۴ | ۶/۷۲ | B |
| ۳ | ۲۹/۵۱۵ | ۹۲/۷۵ | ۱۷۷/۸ | ۱۱/۹۷ | ۱۱/۱۵ | ۷/۸۱ | ۵/۵۹ | ۵/۹۱ | C |
| ۴ | ۲۹/۵۵ | ۹۲/۹۴ | ۱۷۳/۷ | ۱۴/۶۵ | ۳/۱۰ | ۴/۴۸ | ۳/۰۳ | ۱۱/۸۴ | D |

جدول ۹. مقادیر بهینه‌بایی شده برای فرم O با در نظر گرفتن مساحت زیربنای ۲۵۰ مترمربع

| شماره نقاط پارتو | دماهی عملیاتی (°C) متوسط | UDI (درصد) | جهتگیری بنا ۳۶۰ تا + درجه) | (مترا) A | (مترا) B | (مترا) C | (مترا) D | نمودار |
|------------------|--------------------------|------------|----------------------------|----------|----------|----------|----------|--------|
| ۱ | ۲۹/۵۳۱ | ۹۱/۱۸۵ | ۲۶۱/۷۹۱ | ۲۲/۶۳ | ۱۱/۴۶ | ۱/۱۳ | ۲/۰۵ | A |
| ۲ | ۲۹/۵۳۴ | ۹۱/۴۶۷ | ۸۴/۶۹۲ | ۲۴/۶۲ | ۱۰/۵۷ | ۳/۳۶ | ۳/۰۶ | B |
| ۳ | ۲۹/۵۳۷ | ۹۱/۵۳۲ | ۸۴/۶۹۲ | ۲۴/۶۳ | ۱۰/۵۷ | ۳/۳۹ | ۳/۰۸ | C |
| ۴ | ۲۹/۵۳۸ | ۹۱/۶۴۴ | ۲۶۱/۷۹۱ | ۲۰/۸۹ | ۱۲/۴۲ | ۳/۱۱ | ۳/۰۸ | D |
| ۵ | ۲۹/۵۵۶ | ۹۱/۷۴۳ | ۱۷۹/۱۱۰ | ۱۰/۱۰ | ۲۵/۷۸ | ۳/۲۵ | ۳/۲۴ | E |
| ۶ | ۲۹/۵۶۱ | ۹۱/۷۴۹ | ۱۷۸/۶۵۴ | ۱۰/۱۰ | ۲۵/۸۰ | ۳/۲۶ | ۳/۳۴ | F |
| ۷ | ۲۹/۵۷۲ | ۹۱/۷۵۴ | ۲۷۲/۶۱۰ | ۲۲/۷۹ | ۱۱/۵۲ | ۴/۲۳ | ۳/۰۲ | G |
| ۸ | ۲۹/۵۷۹ | ۹۱/۹۶۸ | ۱۸۴/۷۶۱ | ۱۰/۱۰ | ۲۵/۸۴ | ۳/۲۳ | ۳/۴۵ | H |
| ۹ | ۲۹/۵۹۰ | ۹۱/۹۹۲ | ۲۷۲/۶۱ | ۲۲/۲۴ | ۱۱/۸۴ | ۴/۰۱ | ۳/۳۴ | I |
| ۱۰ | ۲۹/۵۹۳ | ۹۲/۳۴۹ | ۱۸۵/۱۴۱ | ۹/۹۹ | ۲۶/۲۳ | ۳/۱۳ | ۳/۸۶ | J |
| ۱۱ | ۲۹/۶۰۱ | ۹۲/۴۵۶ | ۱۸۵/۱۴۱ | ۹/۹۹ | ۲۶/۲۴ | ۳/۲۰ | ۳/۸۶ | K |

فرم L: جدول ۱۹ بهینه متغیرهای ورودی برنامه و مقادیر میانگین دمای عملیاتی و UDI برای جواب‌های پارتو (به تعداد ۷ عدد) با در نظر گرفتن L را نشان می‌دهد.

فرم U: جدول ۲۰ بهینه متغیرهای ورودی برنامه و مقادیر میانگین دمای عملیاتی و UDI برای جواب‌های پارتو (به تعداد ۴ عدد) با در نظر گرفتن U را نشان می‌دهد.

فرم O: جدول ۲۱ بهینه متغیرهای ورودی برنامه و مقادیر میانگین دمای عملیاتی و UDI برای جواب‌های پارتو (به تعداد ۵ عدد) با در نظر گرفتن O را نشان می‌دهد.

فرم U: جدول ۲۱ بهینه متغیرهای ورودی برنامه و مقادیر میانگین دمای عملیاتی و UDI برای جواب‌های پارتو (به تعداد ۵ عدد) با در نظر گرفتن U را نشان می‌دهد.

با در نظر گرفتن ۴ مدل فرم مکعب کامل، L, U و O نتایج بهینه نقاط سر و انتهای طیف پارتو که به ترتیب کمینه دمای عملیاتی و بیشینه UDI در بهینه‌سازی دو هدفه را به دست می‌دهند، برای این مساحت‌ها در جدول‌های ۲۶، ۲۴ و ۲۸ آورده شده است. همچنین در این جداول شاخص فشردگی و فاکتور شکل (صرف برای فرم مکعب کامل) نیز محاسبه شده و ارایه می‌شود. جدول‌های ۲۳، ۲۵، ۲۷ و ۲۹ نیز شکل فرم‌های بهینه به همراه نمودارهای گرافیکی دمای عملیاتی و UDI را نشان می‌دهد.

نتایج برای مساحت زیربنای ۴۵۰ متر مربع:

فرم مکعب کامل: جدول ۱۴ بهینه متغیرهای ورودی برنامه و مقادیر میانگین دمای عملیاتی و UDI برای جواب‌های پارتو (به تعداد ۳ عدد) با در نظر گرفتن فرم مکعب کامل را نشان می‌دهد.

فرم L: جدول ۱۵ بهینه متغیرهای ورودی برنامه و مقادیر میانگین دمای عملیاتی و UDI برای جواب‌های پارتو (به تعداد ۱۱ عدد) با در نظر گرفتن فرم L را نشان می‌دهد.

فرم U: جدول ۱۶ بهینه متغیرهای ورودی برنامه و مقادیر میانگین دمای عملیاتی و UDI برای جواب‌های پارتو (به تعداد ۳ عدد) با در نظر گرفتن فرم U را نشان می‌دهد.

فرم O: جدول ۱۷ بهینه متغیرهای ورودی برنامه و مقادیر میانگین دمای عملیاتی و UDI برای جواب‌های پارتو (به تعداد ۴ عدد) با در نظر گرفتن فرم O را نشان می‌دهد.

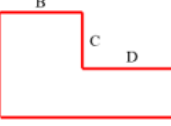
نتایج برای مساحت زیربنای ۶۵۰ متر مربع:

فرم مکعب کامل: جدول ۱۸ بهینه متغیرهای ورودی برنامه و مقادیر میانگین دمای عملیاتی و UDI برای جواب‌های پارتو (به تعداد ۱ عدد) با در نظر گرفتن فرم مکعب کامل را نشان می‌دهد.

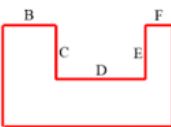
جدول ۱۰. مقادیر بهینه‌یابی شده برای فرم مکعب کامل با در نظر گرفتن مساحت زیربنای ۳۵۰ مترمربع

| | (مترا) B | (مترا) A | جهتگیری بنا (+ تا - ۳۶۰ درجه) | UDI (درصد) | دماه عملیاتی (°C) متوسط | شماره نقاط پارتو |
|--|----------|----------|-------------------------------|------------|-------------------------|------------------|
| A  | ۲۵/۳۱ | ۱۳/۸۲ | ۱۸۲ | ۹۳/۶۶ | ۲۸/۶۶ | ۱ |
| | ۲۳/۴۹ | ۱۴/۸۹ | ۱۸۴ | ۹۳/۸۲ | ۲۸/۶۷ | ۲ |
| | ۲۱/۴۰ | ۱۶/۳۵ | ۱۸۸ | ۹۳/۷۴ | ۲۸/۷۳ | ۳ |
| | ۱۹/۴۷ | ۱۷/۹۷ | ۱۴۰ | ۹۳/۸۷ | ۲۸/۹۴ | ۴ |

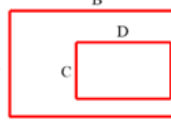
جدول ۱۱. مقادیر بهینه‌یابی شده برای فرم L با در نظر گرفتن مساحت زیربنای ۳۵۰ مترمربع

| | (مترا) D | (مترا) C | (مترا) B | (مترا) A | جهتگیری بنا (+ تا - ۳۶۰ درجه) | UDI (درصد) | دماه عملیاتی (°C) متوسط | شماره نقاط پارتو |
|--|----------|----------|----------|----------|-------------------------------|------------|-------------------------|------------------|
| A  | ۵/۷۰ | ۳/۳۶ | ۱۹/۲۸ | ۱۴/۷۷ | ۱۷۸ | ۹۳/۶۱ | ۲۸/۶۹ | ۱ |
| | ۳/۸۸ | ۴/۵۴ | ۲۰/۰۶ | ۱۵/۳۵ | ۱۷۸ | ۹۳/۶۵ | ۲۸/۷۰ | ۲ |
| | ۱۱/۴۹ | ۳/۲۷ | ۱۷/۸۸ | ۱۶/۹۰ | ۱۸۲ | ۹۳/۷۳ | ۲۸/۷۱ | ۳ |
| | ۳/۵۴ | ۳/۷۷ | ۱۷/۹۴ | ۱۶/۹۰ | ۱۷۸ | ۹۳/۸۵ | ۲۸/۷۱ | ۴ |
| | ۴/۳۳ | ۷/۰۰ | ۲۱/۰۱ | ۱۵/۰۰ | ۱۷۹ | ۹۳/۹۵ | ۲۸/۷۲ | ۵ |
| | ۱۰/۶۳ | ۳/۰۳ | ۱۵/۰۱ | ۱۴/۹۰ | ۱۹۰ | ۹۴/۰۸ | ۲۸/۷۵ | ۶ |
| | ۱۰/۶۳ | ۳/۰۲ | ۱۵/۰۰ | ۱۴/۹۰ | ۱۹۱ | ۹۴/۱۰ | ۲۸/۷۶ | ۷ |
| | ۱۶/۴۶ | ۳/۰۰ | ۸/۸۵ | ۱۵/۷۸ | ۱۶۶ | ۹۴/۴۳ | ۲۸/۸۱ | ۸ |

جدول ۱۲. مقادیر بهینه‌یابی شده برای فرم U با در نظر گرفتن مساحت زیربنای ۳۵۰ مترمربع

| | (مترا) F | (مترا) D | (مترا) C | (مترا) B | (مترا) A | جهتگیری بنا (+ تا - ۳۶۰ درجه) | UDI (درصد) | دماه عملیاتی (°C) متوسط | شماره نقاط پارتو |
|--|----------|----------|----------|----------|----------|-------------------------------|------------|-------------------------|------------------|
| A  | ۱۲/۸۹ | ۵/۷۱ | ۳/۶۶ | ۱۰/۳۴ | ۱۲/۸۰ | ۱۸۰ | ۹۳/۵۷ | ۲۸/۹۴ | ۱ |
| | ۱۳/۳۴ | ۶/۴۰ | ۳/۶۶ | ۹/۳۱ | ۱۲/۸۵ | ۱۷۸ | ۹۳/۸۱ | ۲۸/۹۶ | ۲ |
| | ۴/۲۴ | ۱۴/۷۶ | ۴/۲۰ | ۶/۶۳ | ۱۶/۰۶ | ۱۶۵ | ۹۴/۰۸ | ۲۹/۱۳ | ۳ |

جدول ۱۳. مقادیر بهینه‌یابی شده برای فرم O با در نظر گرفتن مساحت زیربنای ۳۵۰ مترمربع

| | (مترا) D | (مترا) C | (مترا) B | (مترا) A | جهتگیری بنا (+ تا - ۳۶۰ درجه) | UDI (درصد) | دماه عملیاتی (°C) متوسط | شماره نقاط پارتو |
|--|----------|----------|----------|----------|-------------------------------|------------|-------------------------|------------------|
| A  | ۳/۳۸ | ۳/۲۱ | ۲۶/۲۵ | ۱۳/۷۴ | ۱۷۴ | ۹۳/۰۱ | ۲۹/۰۲ | ۱ |
| | ۳/۵۸ | ۳/۳۶ | ۲۴/۳۶ | ۱۴/۸۵ | ۱۸۲ | ۹۳/۱۳ | ۲۹/۰۴ | ۲ |
| | ۳/۸۹ | ۳/۰۹ | ۲۱/۷۶ | ۱۶/۶۳ | ۱۸۹ | ۹۳/۲۲ | ۲۹/۰۸ | ۳ |
| | ۳/۷۹ | ۴/۰۲ | ۲۲/۲۴ | ۱۶/۴۲ | ۱۵۱ | ۹۳/۴۳ | ۲۹/۳۱ | ۴ |
| | ۳/۶۴ | ۴/۰۷ | ۱۹/۲۷ | ۱۸/۹۲ | ۱۵۱ | ۹۳/۵۸ | ۲۹/۳۲ | ۵ |

جدول ۱۴. مقادیر بهینه‌یابی شده برای فرم مکعب کامل با در نظر گرفتن مساحت زیربنای ۴۵۰ مترمربع

| | (مترا) B | (مترا) A | جهتگیری بنا (+ تا - ۳۶۰ درجه) | UDI (درصد) | دماه عملیاتی متوسط (°C) | شماره نقاط پارتو |
|--|----------|----------|-------------------------------|------------|-------------------------|------------------|
| | | | | | | |
| | | | | | | |
| | ۲۸/۹۳ | ۱۵/۵۵ | ۱۷۹/۰ | ۹۴/۰۴ | ۲۸/۳۸ | ۲ |
| | ۲۸/۳۷ | ۱۵/۸۵ | ۱۸۳/۲ | ۹۴/۰۸ | ۲۸/۳۸ | ۳ |

جدول ۱۵. مقادیر بهینه‌یابی شده برای فرم L با در نظر گرفتن مساحت زیربنای ۴۵۰ مترمربع

| | (مترا) D | (مترا) C | (مترا) B | (مترا) A | جهتگیری بنا (+ تا - ۳۶۰ درجه) | UDI (درصد) | دماه عملیاتی متوسط (°C) | شماره نقاط پارتو |
|--|----------|----------|----------|----------|-------------------------------|------------|-------------------------|------------------|
| | | | | | | | | |
| | ۵/۹۵ | ۳/۴۲ | ۲۳/۰۹ | ۱۶/۱۹ | ۱۸۱/۲ | ۹۳/۸۸ | ۲۸/۴۳ | ۱ |
| | ۶/۲۲ | ۳/۴۷ | ۲۲/۹۷ | ۱۶/۱۴ | ۱۸۱/۲ | ۹۳/۹۵ | ۲۸/۴۳ | ۲ |
| | ۶/۲۲ | ۳/۴۳ | ۲۲/۹۷ | ۱۶/۱۴ | ۱۸۱/۲ | ۹۴/۰۶۴ | ۲۸/۴۳۲ | ۳ |
| | ۵/۹۱ | ۳/۰۷ | ۲۳/۲۷ | ۱۶/۰۴ | ۱۸۶/۲ | ۹۴/۰۱ | ۲۸/۴۴۷ | ۴ |
| | ۶/۶۲ | ۳/۳۱ | ۲۷/۴۵ | ۱۳/۸۴ | ۱۷۸/۵ | ۹۴/۰۵ | ۲۸/۴۵۸ | ۵ |
| | ۴/۸۹ | ۳/۶۰ | ۲۰/۸۲ | ۱۸/۱۸ | ۱۶۸/۵ | ۹۴/۲۳۷ | ۲۸/۴۶۰ | ۶ |
| | ۱۶/۷۰ | ۱۱/۸۳ | ۱۴/۲۱ | ۲۰/۹۵ | ۱۷۰/۸ | ۹۴/۲۳۲ | ۲۸/۴۹۸ | ۷ |
| | ۱۸/۸۷ | ۳/۴۹ | ۱۱/۸۱ | ۱۶/۸۱ | ۱۷۸/۴ | ۹۴/۴۵۹ | ۲۸/۵۲۴ | ۸ |
| | ۱۸/۰۸ | ۳/۸۰ | ۱۱/۰۱ | ۱۷/۸۲ | ۱۸۲/۹ | ۹۴/۵۴۷ | ۲۸/۵۳۸ | ۹ |
| | ۱۷/۴۰ | ۳/۱۲ | ۱۰/۸۲ | ۱۷/۸۶ | ۱۶۵/۷ | ۹۴/۵۸۸ | ۲۸/۵۶۱ | ۱۰ |

جدول ۱۶. مقادیر بهینه‌یابی شده برای فرم U با در نظر گرفتن مساحت زیربنای ۴۵۰ مترمربع

| | (مترا) F | (مترا) D | (مترا) C | (مترا) B | (مترا) A | جهتگیری بنا (+ تا - ۳۶۰ درجه) | UDI (درصد) | دماه عملیاتی متوسط (°C) | شماره نقاط پارتو |
|--|----------|----------|----------|----------|----------|-------------------------------|------------|-------------------------|------------------|
| | | | | | | | | | |
| | | | | | | | | | |
| | ۶/۶۳ | ۱۲/۳۷ | ۳/۵۶ | ۹/۰۹ | ۱۷/۵۸ | ۱۶۷/۴ | ۹۳/۷۶۸ | ۲۸/۷۴۹ | ۲ |
| | ۱۱/۵۸ | ۳/۹۳ | ۴/۰۸ | ۱۲/۷۲ | ۱۶/۴۹ | ۱۵۵/۰ | ۹۳/۹۲۴ | ۲۸/۸۱۶ | ۳ |

جدول ۱۷. مقادیر بهینه‌یابی شده برای فرم O با در نظر گرفتن مساحت زیربنای ۴۵۰ مترمربع

| | (مترا) D | (مترا) C | (مترا) B | (مترا) A | جهتگیری بنا (+ تا - ۳۶۰ درجه) | UDI (درصد) | دماه عملیاتی متوسط (°C) | شماره نقاط پارتو |
|--|----------|----------|----------|----------|-------------------------------|------------|-------------------------|------------------|
| | | | | | | | | |
| | ۳/۰۱ | ۳/۰۵ | ۱۵/۷۴ | ۲۹/۱۶ | ۹۲/۴۴۲ | ۹۳/۵۸ | ۲۸/۶۶۳ | ۲ |
| | ۳ | ۲/۵۹ | ۱۵/۷۸ | ۲۹/۲۲ | ۹۴/۴۸۸ | ۹۳/۶۳۶ | ۲۸/۶۹۷ | ۳ |
| | ۲/۳۵ | ۲/۵۹ | ۲۹/۳۴ | ۱۵/۷۴ | ۱۸۳/۶۶۱ | ۹۳/۷۲۳ | ۲۸/۶۹۹ | ۴ |

جدول ۱۸. مقادیر بهینه‌یابی شده برای فرم مکعب کامل با در نظر گرفتن مساحت زیربنای ۶۵۰ مترمربع

| A B | (متر) B | (متر) A | جهتگیری بنا (+ ۰ درجه ۳۶۰) | UDI (درصد) | دماه عملیاتی متوسط (°C) | شماره نقاط پارتو |
|--------|---------|---------|----------------------------|------------|-------------------------|------------------|
| | ۳۴/۳۱ | ۱۸/۹۴ | ۱۸۰/۷ | ۹۴/۳۱۰ | ۲۷/۹۹۵ | ۱ |

جدول ۱۹. مقادیر بهینه‌یابی شده برای فرم L با در نظر گرفتن مساحت زیربنای ۶۵۰ مترمربع

| A B C D | (متر) D | (متر) C | (متر) B | (متر) A | جهتگیری بنا (+ ۰ درجه ۳۶۰ تا ۳۶۰) | UDI (درصد) | دماه عملیاتی متوسط (°C) | شماره نقاط پارتو |
|------------------|---------|---------|---------|---------|-----------------------------------|------------|-------------------------|------------------|
| | ۵/۲۵ | ۳/۹۶ | ۲۸/۸۲ | ۱۹/۶۸ | ۱۷۸/۵ | ۹۴/۳۷۳ | ۲۸/۰۲۰ | ۱ |
| | ۴/۴۷ | ۳/۷۱ | ۳۵/۱۷ | ۱۶/۸۴ | ۱۷۹/۸ | ۹۴/۴۹۴ | ۲۸/۰۴۱ | ۲ |
| | ۶/۸۹ | ۳/۸۸ | ۳۳/۱۳ | ۱۶/۹۰ | ۱۷۹/۹ | ۹۴/۵۱۴ | ۲۸/۰۵۸ | ۳ |
| | ۱۲/۰۹ | ۴/۲۰ | ۱۷/۹۴ | ۲۲/۳۳ | ۱۶۶/۳ | ۹۴/۵۷۸ | ۲۸/۱۲۸ | ۴ |
| | ۱۳/۱۴ | ۴/۲۰ | ۱۶/۹۹ | ۲۳/۴۰ | ۱۶۶/۳ | ۹۴/۷۱۷ | ۲۸/۱۳۵ | ۵ |
| | ۲۱/۰۱ | ۴/۴۱ | ۲۰/۹۴ | ۱۷/۷۰ | ۱۹۳/۳ | ۹۴/۷۲۳ | ۲۸/۲۳۰ | ۶ |
| | ۱۱/۵۹ | ۳/۱۹ | ۲۸/۷۱ | ۱۷/۰۴ | ۱۵۳/۱ | ۹۴/۷۸۰ | ۲۸/۲۹۱ | ۷ |

جدول ۲۰. مقادیر بهینه‌یابی شده برای فرم U با در نظر گرفتن مساحت زیربنای ۶۵۰ مترمربع

| A B C D E F | (متر) F | (متر) D | (متر) C | (متر) B | (متر) A | جهتگیری بنا (+ ۰ درجه ۳۶۰ تا ۳۶۰) | UDI (درصد) | دماه عملیاتی متوسط (°C) | شماره نقاط پارتو |
|----------------------------|---------|---------|---------|---------|---------|-----------------------------------|------------|-------------------------|------------------|
| | ۹/۹۹ | ۴/۷۴ | ۴/۱۶ | ۶/۰۵ | ۳۲/۲۰ | ۲۷۳/۴ | ۹۴/۰۵۹ | ۲۸/۱۴۳ | ۱ |
| | ۱۷/۸۵ | ۵/۳۸ | ۴/۲۰ | ۸/۷۸ | ۲۱/۰۰ | ۱۷۷/۱ | ۹۴/۱۶۰ | ۲۸/۲۳۲ | ۲ |
| | ۱۱/۹۸ | ۶/۹۱ | ۴/۰۴ | ۲۱/۲۹ | ۱۶/۸۶ | ۱۷۸/۹ | ۹۴/۴۵۸ | ۲۸/۲۴۶ | ۳ |
| | ۳/۹۰ | ۳۴/۷۸ | ۳/۵۸ | ۱۱/۲۱ | ۱۵/۵۲ | ۱۸۷/۵ | ۹۴/۶۳۶ | ۲۸/۴۵۱ | ۴ |

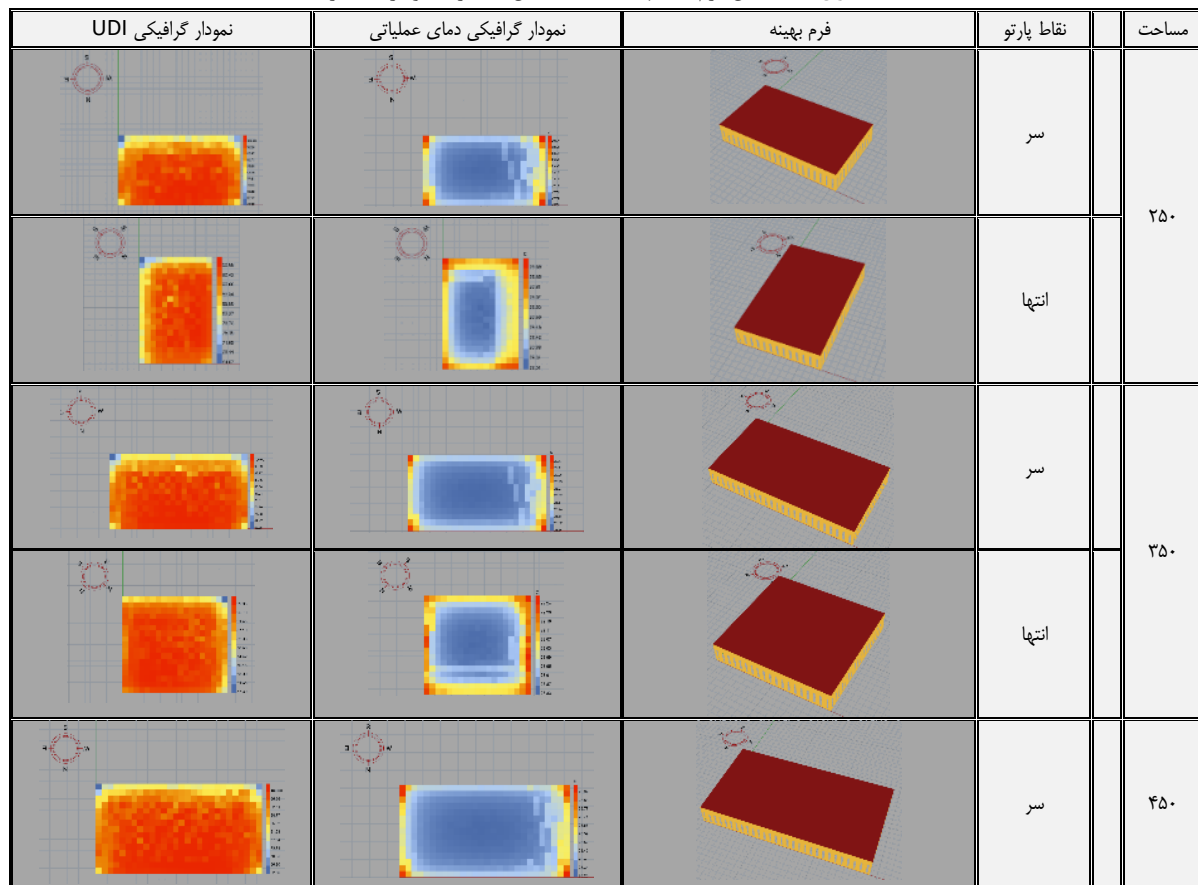
جدول ۲۱. مقادیر بهینه‌یابی شده برای فرم O با در نظر گرفتن مساحت زیربنای ۶۵۰ مترمربع

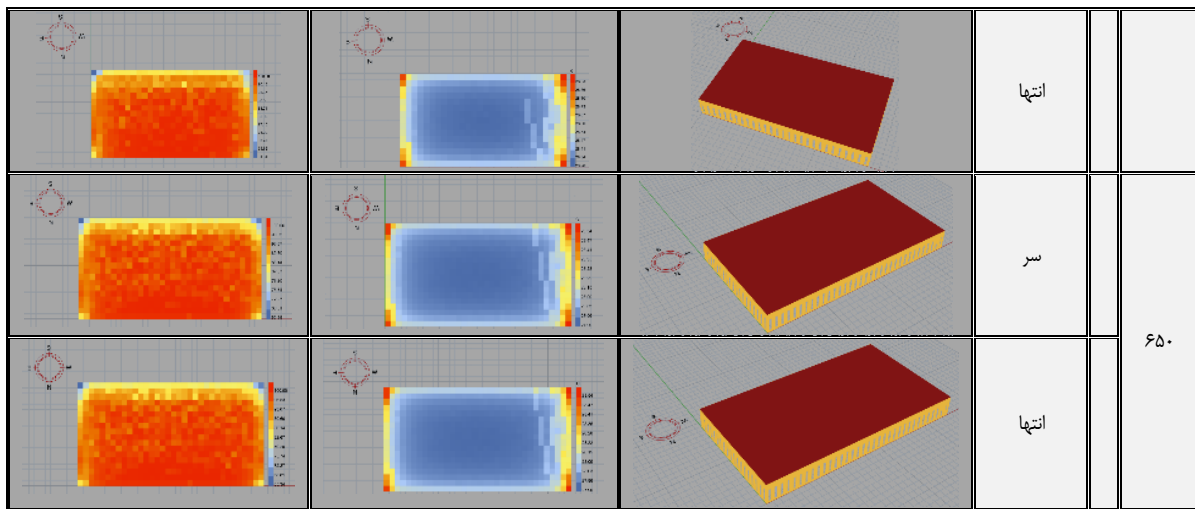
| A B C D | (متر) D | (متر) C | (متر) B | (متر) A | جهتگیری بنا (+ ۰ درجه ۳۶۰) | UDI (درصد) | دماه عملیاتی متوسط (°C) | شماره نقاط پارتو |
|------------------|---------|---------|---------|---------|----------------------------|------------|-------------------------|------------------|
| | ۳/۷۵ | ۳/۲۷ | ۳۸/۲۴ | ۱۷/۳۱ | ۱۹۰/۸ | ۹۳/۸۹۴ | ۲۸/۳۰۲ | ۱ |
| | ۴/۱۲ | ۵/۳۴ | ۳۷/۱۱ | ۱۸/۱۰ | ۱۶۵/۴ | ۹۳/۹۸۱ | ۲۸/۴۲۲ | ۸ |
| | ۴/۱۴ | ۵/۲۷ | ۳۷/۶۶ | ۱۷/۸۳ | ۱۶۵/۴ | ۹۴/۰۰۸ | ۲۸/۴۲۳ | ۹ |
| | ۵/۹۰ | ۴/۶۰ | ۳۸/۵۶ | ۱۷/۵۵ | ۱۶۵/۴ | ۹۴/۰۱۱ | ۲۸/۴۵۹ | ۱۰ |
| | ۴/۵۸ | ۳/۲۷ | ۳۸/۳۲ | ۱۷/۳۵ | ۱۵۰ | ۹۴/۱۵۸ | ۲۸/۵۲۷ | ۱۱ |

جدول ۲۲. نتایج بهینه‌سازی برای فرم مکعب کامل

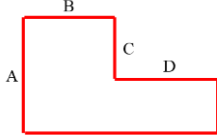
| A | | | فرم مکعب کامل | | | | | | |
|------------|-------------|---------|---------------|--------------------------------|---------------|----------------------|---------------|---------------------|--|
| فاکتور شکل | شاخص فشردگی | (متر) B | (متر) A | جهتگیری بنا + ۰ تا ۳۶۰ درجه | UDI (درصد) | دماه عملیاتی (°C) | نقاط پارتو | مساحت (متر مربع) | |
| ۱/۷۶۴ | ۳/۸۰۲ | ۲۰/۸۹ | ۱۱/۹۶ | ۱۷۸ | ۹۲/۸۶ | ۲۹/۰۷ | سر | ۲۵۰ | |
| ۰/۶۸۲ | ۳/۸۸۰ | ۱۳/۰۶ | ۱۹/۱۳ | ۱۳۲/۸ | ۹۳/۱۳۵ | ۲۹/۴۲ | انتها | | |
| ۱/۸۳۱ | ۴/۴۶۹ | ۲۵/۳۱ | ۱۳/۸۲ | ۱۷۸ | ۹۳/۶۶ | ۲۸/۶۶ | سر | ۳۵۰ | |
| ۱/۰۸۳ | ۴/۶۷۲ | ۱۹/۴۷ | ۱۷/۹۷ | ۲۲۰ | ۹۳/۸۷ | ۲۸/۹۴ | انتها | | |
| ۱/۸۵۱ | ۵/۰۶۱ | ۲۸/۸۶ | ۱۵/۵۹ | ۱۸۰/۳ | ۹۳/۹۲ | ۲۸/۳۷ | سر | ۴۵۰ | |
| ۱/۷۸۹ | ۵/۰۸۴ | ۲۸/۳۷ | ۱۵/۸۵ | ۱۷۶/۸ | ۹۴/۰۸ | ۲۸/۳۸ | انتها | | |
| ۱/۸۱۱ | ۶/۱۰۱ | ۳۴/۳۱ | ۱۸/۹۴ | ۱۷۹/۳ | ۹۴/۳۱۰ | ۲۷/۹۹۵ | سر | ۵۵۰ | |
| ۱/۸۱۱ | ۶/۱۰۱ | ۳۴/۳۱ | ۱۸/۹۴ | ۱۷۹/۳ | ۹۴/۳۱۰ | ۲۷/۹۹۵ | انتها | | |

جدول ۲۳. شکل فرم‌های بهینه مکعب کامل به همراه نمودارهای گرافیک

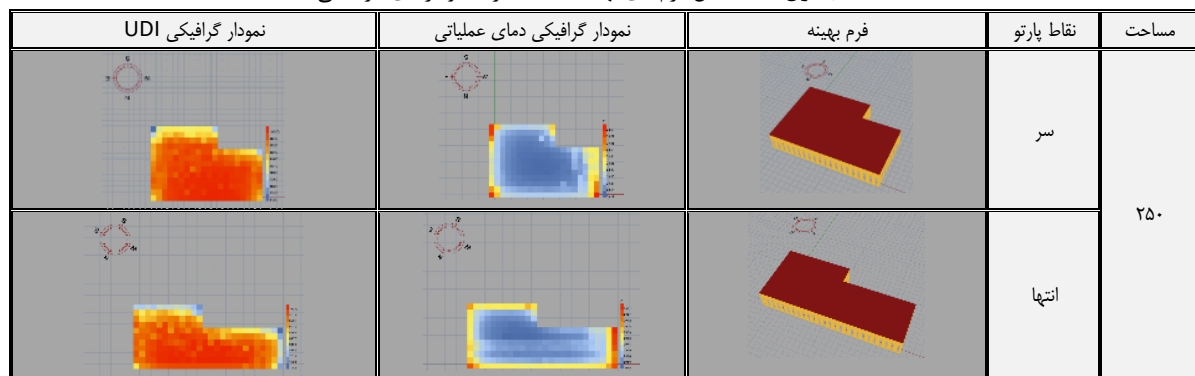


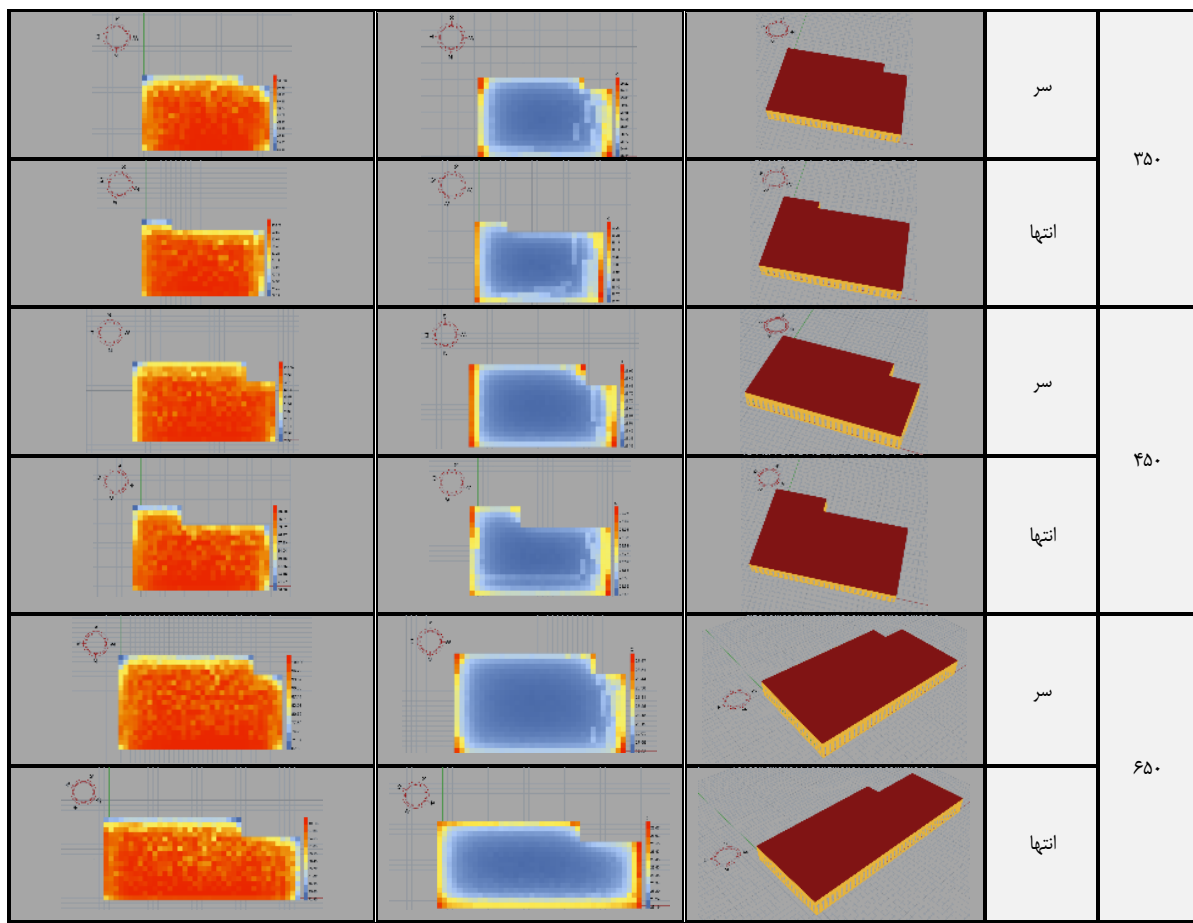


جدول ۲۴. نتایج بهینه‌سازی برای فرم L

|  | | فرم L | | | | | | | | |
|---|---------|---------|---------|---------|--------------------------------|------------|----------------------------|------------|------------------|--|
| شاخص فشرده‌گی | (متر) D | (متر) C | (متر) B | (متر) A | جهتگیری بنا تا ۳۶۰ درجه (۰) | UDI (درصد) | دماه عملیاتی متوسط (°C) | نقاط پارتو | مساحت (متر مربع) | |
| ۳/۶۸۱ | ۰/۳۷ | ۳/۷۱ | ۱۵/۸۴ | ۱۲/۷۱ | ۱۸۰/۳ | ۹۳/۲۳ | ۲۹/۱۵ | سر | ۲۵۰ | |
| ۳/۳۵۱ | ۱۳/۴۲ | ۳/۷۴ | ۱۲/۵۸ | ۱۱/۲۸ | ۲۰۵/۸ | ۹۳/۶۲ | ۲۹/۵۶ | انتها | | |
| ۴/۴ | ۵/۷۰ | ۳/۳۶ | ۱۹/۲۸ | ۱۴/۷۷ | ۱۸۲ | ۹۳/۶۱ | ۲۸/۶۹ | سر | | |
| ۴/۲۵۹ | ۱۶/۴۶ | ۳/۰۰ | ۸/۸۵ | ۱۵/۷۸ | ۱۹۴ | ۹۴/۴۳ | ۲۸/۸۱ | انتها | ۳۵۰ | |
| ۴/۹۷۲ | ۰/۹۵ | ۳/۴۲ | ۲۳/۰۹ | ۱۶/۱۹ | ۱۷۸/۸ | ۹۳/۸۸ | ۲۸/۴۳ | سر | | |
| ۴/۴۸۹ | ۱۷/۴۰ | ۳/۱۲ | ۱۰/۸۲ | ۱۷/۸۶ | ۱۹۴/۳ | ۹۴/۵۸۸ | ۲۸/۵۶۱ | انتها | ۴۵۰ | |
| ۶/۰۴۵ | ۵/۲۵ | ۳/۹۶ | ۲۸/۸۲ | ۱۹/۶۸ | ۱۸۱/۵ | ۹۴/۳۷۳ | ۲۸/۰۲۰ | سر | | |
| ۵/۶۶۵ | ۱۱/۵۹ | ۳/۱۹ | ۲۸/۷۱ | ۱۷/۰۴ | ۲۰۶/۹ | ۹۴/۷۸۰ | ۲۸/۲۹۱ | انتها | ۶۵۰ | |

جدول ۲۵. شکل فرم‌های بهینه L به همراه نمودارهای گرافیکی





جدول ۲۶. نتایج بهینه‌سازی برای فرم U

| | | فرم U | | | | | | | | | | | |
|-------|-------|-------------|---------|---------|---------|---------|---------|---------|-----------------------------|------------|-------------------------|------------|------------------|
| | | شاخص فشردگی | (متر) F | (متر) E | (متر) D | (متر) C | (متر) B | (متر) A | جهتگیری بنا (۰ تا ۳۶۰ درجه) | UDI (درصد) | دماه عملیاتی (°C) متوسط | نقاط بارتو | مساحت (متر مربع) |
| ۳/۲۲۴ | ۳/۰۵ | ۴/۴۱ | ۴/۷۳ | ۴/۴۱ | ۴/۴۷ | ۲۲/۰۹ | ۸۱/۸ | ۹۲/۱۰ | ۲۹/۴۲ | سر | ۲۵۰ | | |
| ۳/۳۶۸ | ۱۱/۸۴ | ۴/۴۸ | ۳/۰۳ | ۴/۴۸ | ۳/۱۰ | ۱۴/۶۵ | ۱۸۶/۳ | ۹۲/۹۴ | ۲۹/۵۵ | انتها | | | |
| ۳/۸۵۱ | ۱۲/۸۹ | ۳/۶۶ | ۵/۷۱ | ۳/۶۶ | ۱۰/۳۴ | ۱۲/۸۰ | ۱۸۰ | ۹۳/۵۷ | ۲۸/۹۴ | سر | | | |
| ۳/۸۱ | ۴/۲۴ | ۴/۲۰ | ۱۴/۷۶ | ۴/۲۰ | ۶/۶۳ | ۱۶/۰۶ | ۱۹۵ | ۹۴/۰۸ | ۲۹/۱۳ | انتها | ۳۵۰ | | |
| ۴/۴۲۹ | ۵/۵۸ | ۴/۰۶ | ۴/۲۳ | ۴/۰۶ | ۴/۶۹ | ۳۲/۲۰ | ۲۶۵/۳ | ۹۳/۷۹۷ | ۲۸/۵۷۵ | سر | | | |
| ۴/۶۰۷ | ۱۱/۰۸ | ۴/۰۸ | ۳/۹۳ | ۴/۰۸ | ۱۲/۷۲ | ۱۶/۴۹ | ۲۰۵ | ۹۳/۹۲۴ | ۲۸/۸۱۶ | انتها | ۴۵۰ | | |
| ۵/۶۸۴ | ۹/۹۹ | ۴/۱۶ | ۴/۷۴ | ۴/۱۶ | ۶/۰۵ | ۳۲/۲۰ | ۸۶/۶ | ۹۴/۰۵۹ | ۲۸/۱۴۳ | سر | | | |
| ۴/۷۱ | ۳/۹۰ | ۳/۵۸ | ۳۴/۷۸ | ۳/۵۸ | ۱۱/۲۱ | ۱۵/۰۲ | ۱۷۲/۵ | ۹۴/۶۳۶ | ۲۸/۴۵۱ | انتها | ۶۵۰ | | |

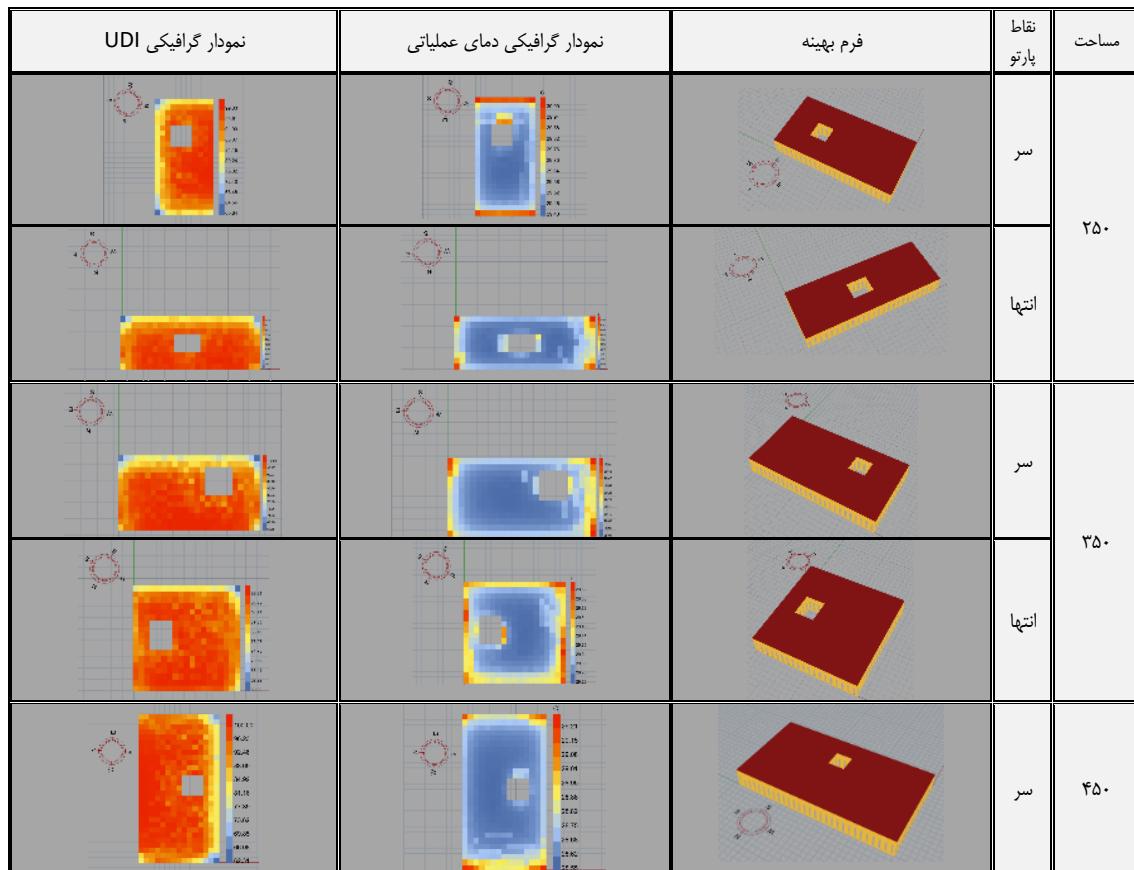
جدول ۲۷. شکل فرم‌های بهینه U بهمراه نمودارهای گرافیکی

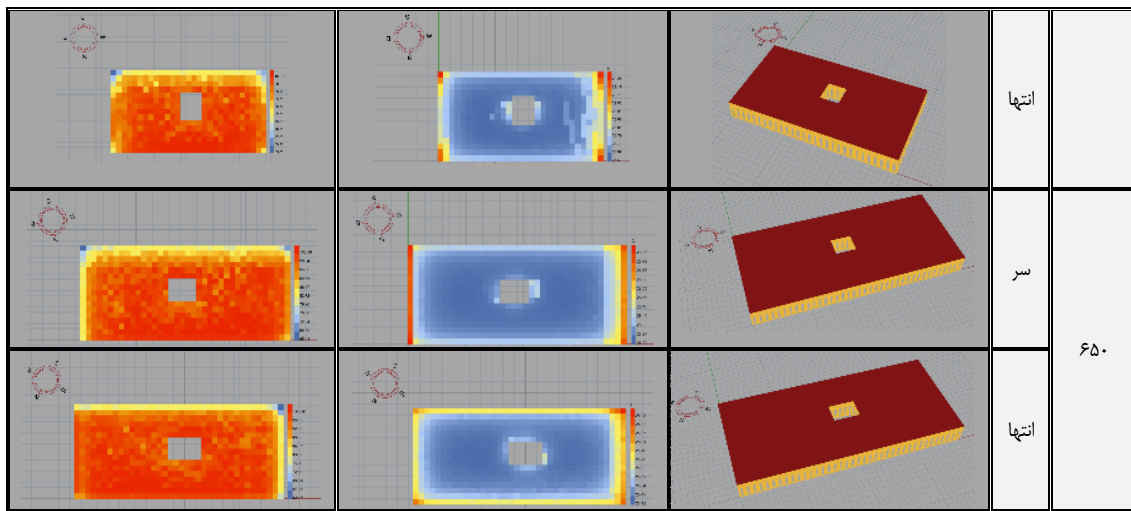
| مساحت پارتو | نقاط پارتو | فرم بهینه | نمودار گرافیکی دمای عملیاتی | نمودار گرافیکی UDI | نمودار گرافیکی |
|----------------|---------------|-----------|-----------------------------|--------------------|----------------|
| ۲۵۰ | سر | | | | |
| ۳۵۰ | انتها | | | | |
| ۴۵۰ | سر | | | | |
| ۶۵۰ | انتها | | | | |

جدول ۲۸. نتایج بهینهسازی برای فرم O

| شناخت قدرتگی | مشخصات عرضی مرکز مکعب کوچک (متر) | | مشخصات طولی مرکز مکعب کوچک (متر) | | D (متر) | (مترا) C | (مترا) B | (مترا) A | جهتگیری بنا ۳۶۰ تا ۰ درجه | UDI (درصد) | دماهی عملیاتی (°C) متوسط | نقاط پارتو نقطه | مساحت (متر مربع) |
|-----------------|---|-------|---|------|------------|-------------|-------------|-------------|------------------------------|---------------|--------------------------------|-----------------------|------------------------|
| | A | B | C | D | | | | | | | | | |
| ۲/۱۰۱ | ۱۵/۶۷ | ۵/۱۷ | ۲/۰۵ | ۲/۱۳ | ۱۱/۴۶ | ۲۲/۴۳ | ۹۸/۲ | ۹۱/۱۸۵ | ۲۹/۵۳۱ | سر | ۲۵۰ | | |
| ۲/۸۸۵ | ۴/۸۶ | ۱۲/۰۹ | ۲/۱۶ | ۲/۲۰ | ۲۶/۲۴ | ۹/۹۹ | ۱۷۶/۸ | ۹۲/۴۵۶ | ۴۹/۶۰۱ | انتها | | | |
| ۳/۷۵۵ | ۸/۸۷ | ۱۷/۰۵ | ۲/۲۸ | ۲/۲۱ | ۲۶/۲۵ | ۱۳/۷۴ | ۱۸۶ | ۹۳/۰۱ | ۲۹/۰۲ | سر | ۳۵۰ | | |
| ۳/۸۱ | ۹/۶۲ | ۴/۹۸ | ۲/۰۴ | ۴/۰۷ | ۱۹/۲۷ | ۱۸/۹۲ | ۲۰۹ | ۹۳/۵۸ | ۲۹/۳۲ | انتها | | | |
| ۴/۴۱۹ | ۱۵/۰۷ | ۱۰/۶۶ | ۳ | ۳ | ۱۵/۷۴ | ۲۹/۱۵ | ۱۷۳/۶ | ۹۳/۵۱۷ | ۲۸/۵۵ | سر | ۴۵۰ | | |
| ۴/۳۲۳ | ۸/۶۵ | ۱۴/۸۲ | ۲/۰۹ | ۲/۰۹ | ۲۹/۳۴ | ۱۵/۷۶ | ۱۷۶/۳۴ | ۹۳/۷۲۳ | ۲۸/۵۹۹ | انتها | | | |
| ۵/۱۹۱ | ۹/۱۷ | ۱۸/۵۳ | ۲/۰۵ | ۲/۰۷ | ۲۸/۲۶ | ۱۷/۳۱ | ۱۶۹/۲ | ۹۳/۸۹۴ | ۲۸/۳۰۲ | سر | ۶۵۰ | | |
| ۵/۱۱۵ | ۹/۱۷ | ۲۰/۱۷ | ۴/۰۸ | ۲/۰۷ | ۲۸/۲۲ | ۱۷/۲۵ | ۲۱۰ | ۹۴/۱۵۸ | ۲۸/۵۲۷ | انتها | | | |

جدول ۲۹. شکل فرم‌های بهینه مکعب کامل به همراه نمودارهای گرافیکی





در نمودار شکل ۲۳ شاخص فشردگی برای فرم‌های دارای بیشترین آسایش حرارتی برای هر دسته مساحت زیربنا بر اساس نوع فرم آورده شده است. مشاهده می‌شود که بیشترین مقدار شاخص فشردگی فرم برای هر دسته مساحت زیربنا مربوط به مکعب کامل است. پس از آن به ترتیب فرم‌های L, U, O دارای بیشترین شاخص فشردگی برای هر دسته مساحت زیربنا هستند. می‌توان مشاهده کرد که با افزایش مساحت زیربنا میزان شاخص فشردگی نیز افزایش می‌یابد. با مقایسه نمودار شکل ۲۳ و نمودار شکل ۲۲ می‌توان رابطه معناداری بین شاخص فشردگی و میزان آسایش حرارتی در شهر یزد پیدا کرد. هر چه مقدار شاخص فشردگی فرم ساختمان ببیشتر باشد، میزان آسایش حرارتی بنا بیشتر است. این نتیجه پیش از این توسط بکوچه و همکاران در مرجع شماره [۲۳] ثابت شده که در اقلیم گرم و خشک میزان شاخص فشردگی فرم ساختمان با مقدار آسایش حرارتی آن رابطه مستقیم دارد. هرچه شاخص فشردگی فرم ببیشتر باشد آسایش حرارتی ساختمان بیشتر است که این مسئله با نتایج پژوهش حاضر همخوانی دارد.

در نمودار شکل ۲۴ نیز میانگین شاخص فشردگی تمامی نقاط پارتو منتج از بهینه‌سازی برای هر دسته مساحت-فرم آورده شده است.

این نمودار نیز نشان می‌دهد که میانگین شاخص فشردگی مربوط به تمامی نقاط پارتو برای هر دسته مساحت-فرم چه میزان است و بیشترین این عدد مربوط به فرم مکعب کامل برای هر مساحت زیربنا تعیین شده است. پس از آن به ترتیب فرم‌های L, U, O دارای بیشترین میانگین

شاخص فشردگی برای هر دسته مساحت زیربنا هستند.

نمودار شکل ۲۵ ببیشترین UDI منتج از بهینه‌سازی فرم‌های مختلف با در نظر گرفتن مساحت‌های مختلف زیربنا را نشان می‌دهد.

این نمودار نشان می‌دهد که بیشترین مقدار UDI به عنوان شاخص آسایش بصری پژوهش مربوط به فرم L برای هر دسته مساحت است. پس از آن برای مساحت ۲۵۰ متر مربع به ترتیب مکعب کامل، U, O و UDI دارا هستند. برای مساحت ۳۵۰ متر مربع نیز پس از فرم L، به ترتیب فرم‌های U, مکعب کامل و O دارای بیشترین مقدار

بحث پژوهش

همانطور که پیش از این ذکر شد دمای هوای محیط خارجی در طول روز گرم‌ترین هفته سال حدود ۳۵ درجه است. چند حالت نامطلوب (نه نامطلوب‌ترین) از فرم O در جدول ۴۵ آورده شده‌اند که مربوط به زیربنای ۶۵۰ متر مربع هستند.

با توجه به نتایج در فصل ۳ مشخص می‌شود که فرم‌های بهینه به دست آمده قابلیت کاهش دمای عملیاتی ساختمان را حدود ۲ تا ۳ درجه سانتی گراد دارا می‌باشند. همچنین این قابلیت را دارا هستند که حدود ۴-۳ درصد میزان نور مفید روز در کل سال را افزایش دهند.

پیش از بحث در ارتباط با نتایج لازم است ذکر شود که صحت نتایج به ۳ طریق اثبات شد: ۱) مقاله شماره [۲۳] بخش مراجع که کیفیت آن در تحلیل نتایج شهر یزد توضیح داده می‌شود. ۲) ذکر این مطلب که فرم تصادفی نوع L واقع در جدول ۵ که با مساحت ورودی ۶۵۰ مترمربع به دست آمده‌اند هیچ کدام دارای دمای عملیاتی کمتر و UDI بیشتر از نقاط درصد میزان نور مفید روز در کل سال را افزایش دهند. ۳) نتایج مرجع بهینه پارتو به دست آمده از فرآیند بهینه‌سازی نبودند.

شماره [۲۷] همین پژوهش است که در قسمت نتایج جهتگیری توضیح داده شده است. نمودار شکل ۲۲ کمترین دمای عملیاتی منتج از بهینه‌سازی فرم‌های مختلف با در نظر گرفتن مساحت‌های مختلف زیر بنا را نشان می‌دهد.

این نمودار نشان می‌دهد که کمترین میزان دمای عملیاتی برای هر مساحت زیر بنا مربوط به فرم مکعب کامل است. پس از آن به ترتیب فرم‌های L, U, O دارای کمترین میزان دمای عملیاتی برای هر دسته مساحت زیربنا هستند. همچنین با افزایش مساحت زیربنا کمینه دمای عملیاتی ناشی از بهینه‌سازی کاهش می‌یابد و این برای تمامی انواع فرم در نظر گرفته شده صادق است. بنابراین می‌توان اینطور بیان کرد که آسایش حرارتی با افزایش مساحت زیربنا در خانه ویلایی یک طبقه افزایش می‌یابد و بهینه‌ترین فرم، فرم مکعب کامل است.

اساس بیشینه UDI برای هر دسته مساحت نشان می‌دهد. (منحنی خطچین طوسی) با توجه به اینکه مقدار فاکتور شکل بر اساس کمینه دمای عملیاتی تقریباً روند ثابتی را با افزایش مساحت زیربنا طی می‌کند، می‌توان نتیجه گرفت که فرم مکعب کامل بهینه به لحاظ آسایش حرارتی بایستی دارای فاکتور شکل حدود $1/8$ باشد. در ارتباط با فاکتور شکل بر اساس بیشینه UDI ارتباط معناداری بین مقدار مساحت زیربنا با این مقادیر دریافت نمی‌شود.

از آنجایی که پیش از این ثابت شد که بهینه ترین فرم برای بالاترین میزان آسایش حرارتی در شهر یزد برای مساحت‌های مختلف فرم مکعب کامل است، می‌توان اعلام کرد که فرم مکعب کامل با میزان فاکتور شکل $1/8$ بهینه‌ترین فرم به لحاظ آسایش حرارتی برای مساحت‌های زیربنا مختلف تا 650 متر مربع در اقلیم یزد است.

UDI هستند. برای مساحت 450 متر مربع پس از فرم بهینه L به ترتیب مکعب کامل، U و O بیشترین مقدار UDI را دار هستند. برای مساحت 65 متر مربع نیز پس از فرم بهینه L، به ترتیب فرم‌های U، مکعب کامل و O دارای بیشترین مقدار UDI هستند.

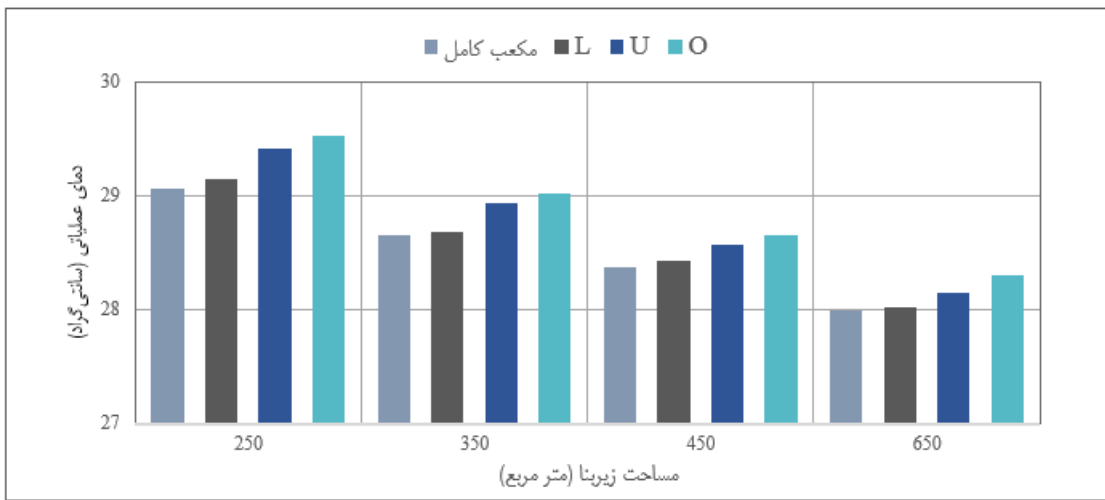
بایستی ذکر شود که بین بیشینه UDI و شاخص فشردگی فرم‌های بهینه رابطه معنی‌دار یافت نشد.

نمودار شکل ۲۶ میزان فاکتور شکل برای فرم‌های بهینه از هر دسته مساحت ورودی برنامه را نشان می‌دهد. از آنجا که مقدار فاکتور شکل از رابطه طول ساختمان نسبت به عرض آن به دست می‌آید، بدیهی است این شاخص فقط برای فرم مکعب کامل اعتبار دارد.

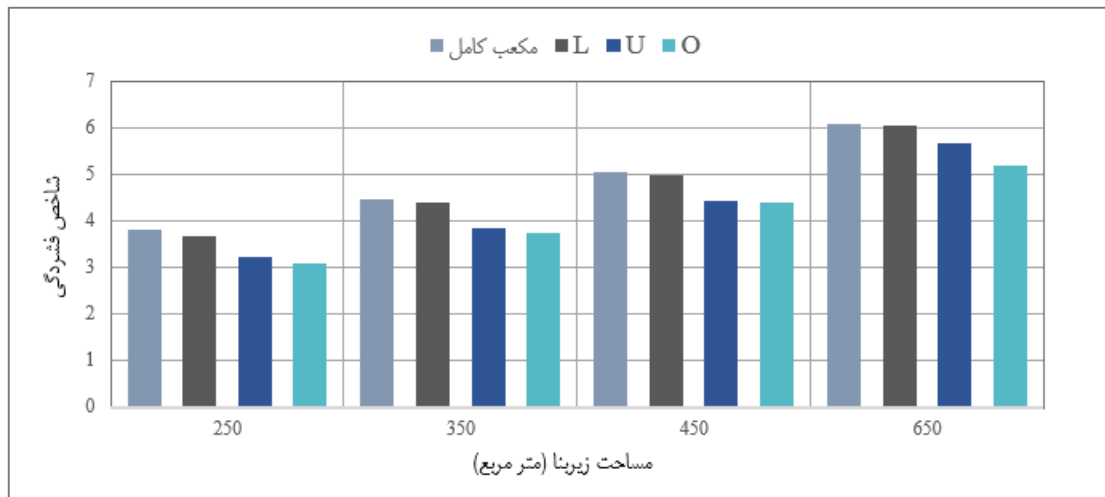
این نمودار دارای دو منحنی است که یکی تغییرات فاکتور شکل را برای فرم بهینه به لحاظ کمترین دمای عملیاتی برای هر مساحت ورودی نشان می‌دهد. (منحنی توپر سیاه) دیگری فاکتور شکل را برای فرم بهینه بر

جدول ۴۵. چند نمونه حالت نامطلوب از طراحی فرم در اقلیم یزد

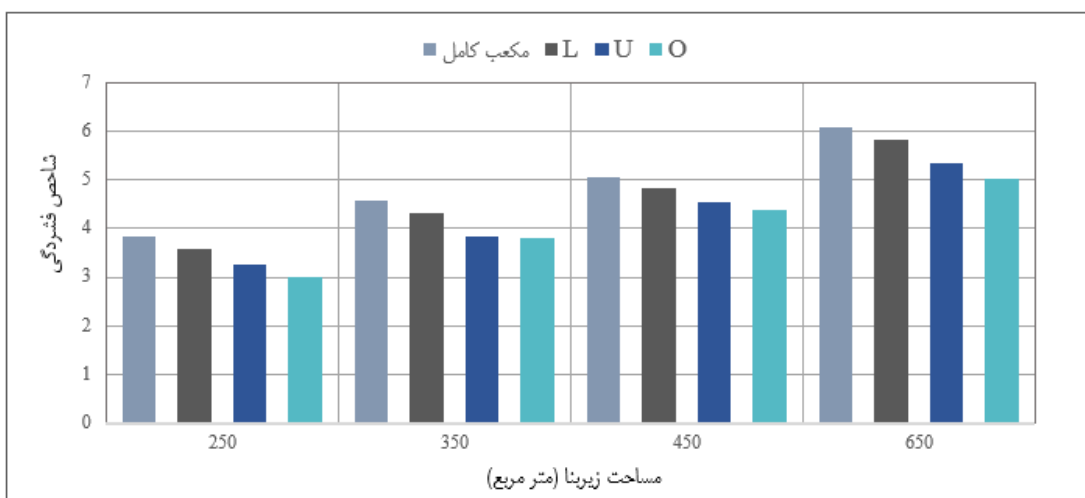
| نمای از بالای فرم | نمای علکردی | نمای UDI | نمای پیش‌سازی‌بندی فرم | مشخصات |
|-------------------|-------------|----------|------------------------|---|
| | | | | دماه عملیاتی: 31 نور مفید روز: $91/5$ |
| | | | | دماه عملیاتی: $30/4$ نور مفید روز: 91 |
| | | | | دماه عملیاتی: $29/14$ نور مفید روز: $91/2$ |
| | | | | |



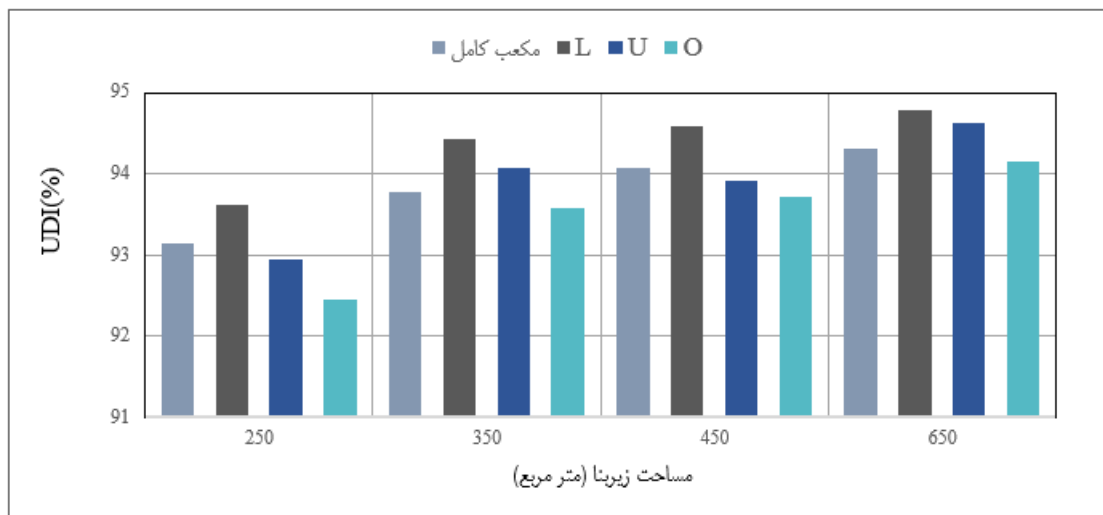
شکل ۲۲. کمینه دمای عملیاتی برای مساحت-فرم‌های مختلف به دست آمده از بهینه‌سازی دوهدفه شهر یزد



شکل ۲۳. شاخص فشردگی برای فرم‌های دارای بیشترین آسایش حرارتی برای هر دسته مساحت زیربنا بر اساس نوع فرم



شکل ۲۴. میانگین شاخص فشردگی تمامی نقاط پارتو برای هر دسته مساحت-نوع فرم



شکل ۲۵. بیشترین UDI منتج از بهینه‌سازی فرم‌های مختلف با در نظر گرفتن مساحت‌های مختلف



شکل ۲۶. فاکتور شکل برای فرم‌های بهینه از هر دسته مساحت ورودی برنامه

بهینه‌سازی دوهدفه (به غیر از سر و انتهای که نمودارشان در شکل آورده شده) حدوداً بین دو منحنی قرار می‌گیرند. به این معنی که برای مساحت‌های ۲۵۰ و ۳۵۰ متر مربع جهتگیری بین ۱۸۰ (شمالي) - جنوبي) تا ۲۲۰ درجه (شمال‌غربي - جنوب‌شرقی) مطلوب است. و برای مساحت‌های ۴۵۰ و ۶۵۰ متر مربع جهتگیری ۱۸۰ درجه یا صفر (شمالي - جنوبي) توصیه می‌شود. می‌توان مشاهده کرد که بهینه‌جهت ساختمان بر اساس شاخص آسایش بصری با تغییر مقدار مساحت ورودی، تعییر می‌کند.

لازم به ذکر است تحقیق شماره [۲۷] مرجع که توسط فلاچپور و همکاران در سال ۱۳۹۴ انجام گرفت و در بخش روش پژوهش به آن اشاره شد، تأیید کننده نتایج پژوهش حاضر می‌باشد. این تحقیق جهتگیری مطلوب ساختمان در اقلیم یزد را بین دو جهت شمالی-جنوبي و شمال‌غربي-جنوب‌شرقی اعلام کرده است.

مسئله دیگری که در اینجا بررسی می‌شود همسو بودن دو تابع هدف آسایش بصری و آسایش حرارتی در بهینه‌سازی با در نظر گرفتن اقلیم یزد

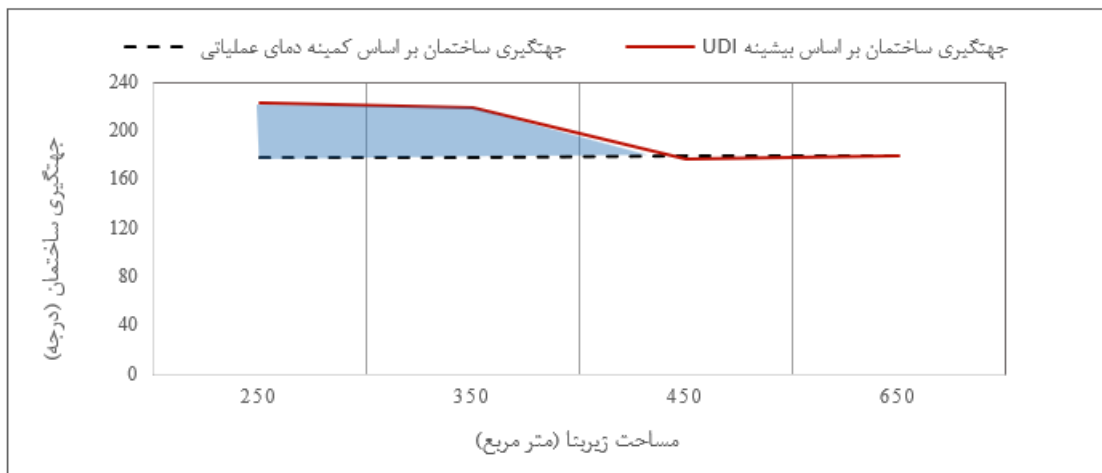
در ارتباط با جهتگیری ساختمان در شهر یزد نمودار شکل ۲۷ مشاهده شود. برای مسیله جهتگیری بنا نیز صرفاً از فرم مکعب کامل برای درک جهتگیری استفاده می‌شود. ورودی مقدار جهتگیری برای باقی فرم‌ها روی نوع فرم‌ها در گزینه‌های مربوط به بهینه‌یابی تأثیرگذار است (فرم‌ها متقارن نیستند). جهتگیری بهینه فرم مکعب کامل بر اساس کمینه دمای عملیاتی (منحنی توپر سیاه) و بیشینه UDI (منحنی خط‌چین طوسی) در این نمودار آورده شده است. جهتگیری ساختمان منتج از بهینه‌سازی دو هدفه که کمینه دمای عملیاتی را نتیجه می‌دهد با افزایش مقدار مساحت مقطع طولی که به عنوان ورودی برنامه اعمال می‌شود، تقریباً ثابت است. یعنی با در نظر گرفتن بهینه آسایش حرارتی گرمترین هفتاه سال می‌توان نتیجه گرفت که برای مساحت‌های تا ۶۵۰ متر مربع جهت بهینه ساختمان مستقل از میزان مساحت است. می‌توان دریافت که بهینه‌ترین جهتگیری برای ساختمان در شهر یزد برای داشتن بیشترین میزان آسایش حرارتی حدود ۰ یا ۱۸۰ درجه است (ساختمان متقارن است). قابل ذکر است جهتگیری‌های بهینه باقی نقاط پارتو ناشی از

محدوده کوچک را می‌دهند. حتی در حالت مکعب کامل مساحت زیربنای ۶۵۰ متر نتیجه بهینه‌سازی یک نقطه بود به این معنا که دو هدف در یک نقطه به توافق رسیدند. این اتفاق به این معناست که در اقلیم یزد دو هدف انتخابی دارای فاکتورهایی هستند که آن‌ها را یکسو می‌کند. به طور مثال یکی از عوامل کاهش نور مغاید روز در طی سال ناشی از تابشی است که باعث کاهش آسایش حرارتی در طی گرم‌ترین هفته سال می‌شود.

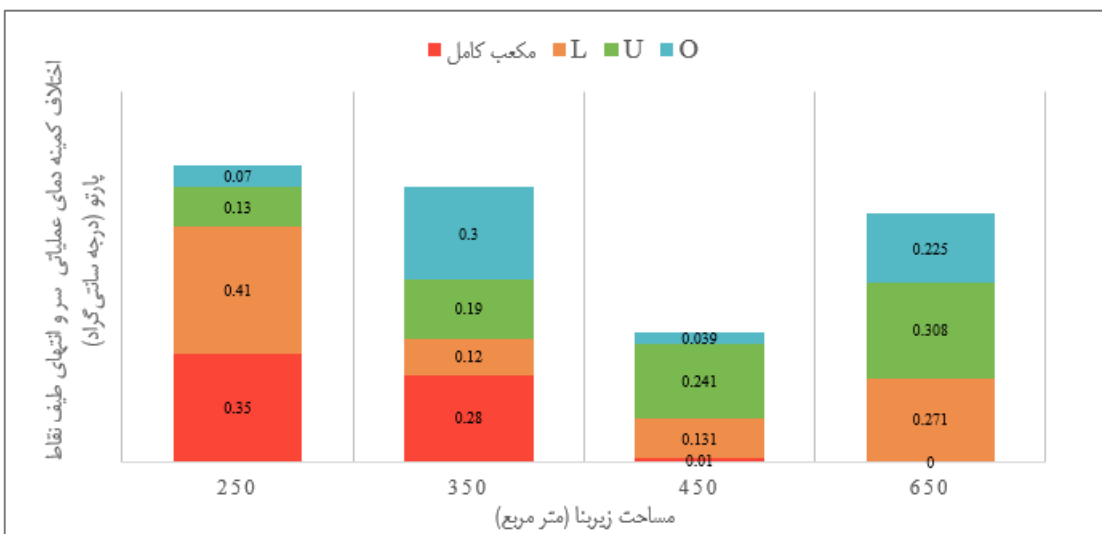
۷

است. در نمودارهای شکل ۲۸ و شکل ۲۹ میزان اختلاف بهینه‌های سر و انتهای پارتو به ترتیب برای دمای عملیاتی و UDI با در نظر گرفتن دسته‌های مساحت-فرم آورده شده است.

با توجه به نمودار شکل ۲۸ بیشترین میزان اختلاف برای دمای عملیاتی حدود ۰/۳ درجه است که عدد بسیار کمی است. همچنین با توجه به نمودار شکل ۲۹ نیز بیشترین اختلاف حدود ۱/۲ درصد است. نوع نمودارهای نتیجه بهینه‌سازی برای دسته مساحت-فرم‌های مختلف که در بخش ۱-۴ آورده شده‌اند نیز نشان از همگرایی نقاط پارتو به سمت یک



شکل ۲۷. نمودار بهینه جهتگیری ساختمان در شهر یزد



شکل ۲۸. اختلاف دمای عملیاتی نقاط بهینه منحنی پارتو در ابتداء و انتهای منحنی



شکل ۲۹. اختلاف UDI نقاط بھینه منحنی پارتو در ابتداء و انتهای منحنی

هر مساحت- فرم (از انواع فرم‌های ۴ گانه مکعب کامل، UL و O) به صورت جبهه پارتو در نتایج بھینه‌سازی ارائه شد و با توجه به چند هدفه بودن مساله، برای هر مساله طیفی از نقاط بھینه شناسایی شد لیکن در این پژوهش نقاط سر و انتهای منحنی پارتو مورد توجه قرار گرفتند و تحلیل نتایج بر پایه این داده‌ها صورت گرفت.

جهت صحبت‌سنگی نتایج بھینه‌سازی، فرم‌های بھینه با نمونه‌های تصادفی از یک اقلیم- مساحت - نوع فرم معین مورد مقایسه قرار گرفت. همچنین از نتایج سایر فعالیت‌های پژوهشی (دو مقاله) برای تصدیق نتایج به دست آمده از پژوهش حاضر استفاده شد که در نهایت منجر به تأیید خروجی‌ها شدند.

نتایج بھینه‌سازی چنددهدفه برای شهر یزد نشان داد که بھینه‌ترین فرم برای دستیابی بالاترین آسایش حرارتی فصل گرم (با اهمیت بیشتر دادن به آسایش حرارتی نسبت به آسایش بصری)، فرم مکعب کامل با فاکتور ۱/۸ و جهتگیری ۰ درجه می‌باشد. همچنین بھینه‌ترین فرم برای دستیابی به آسایش بصری (با اهمیت بیشتر دادن به آسایش بصری) فرم L با بعد داده شده در جدول‌های نتایج بخش ۳ مقاله است. به طور کلی جهتگیری بین ۱۸۰ (شمالی - جنوبی) تا ۲۰ درجه (شمال‌غربی - جنوب‌شرقی) برای ساختمان‌های بومی منطقه یزد مطلوب به حساب می‌آید. همچنین نتایج نشان داد که با افزایش مساحت زیربنای ساختمان در شهر یزد، آسایش ساکنان به لحاظ بصری و حرارتی در فصل گرم افزایش می‌یابد.

لازم به ذکر است تمامی راه حل‌های ارایه شده در جدول‌های نتایج در بخش ۵ مقاله حاضر به لحاظ بھینه‌سازی دو هدفه آسایش حرارتی فصل گرم و آسایش بصری مطلوب بوده و قبل استفاده برای طراحان هستند. پیشنهاد می‌شود بھینه‌سازی فرم برای فصل سرد سال در شهر یزد نیز مورد پژوهش قرار بگیرد.

نتیجه‌گیری

تحقیق حاضر لزوم توجه به بحث مصرف انرژی توسط معماران و طراحان ساختمان‌ها را مورد بحث و بررسی قرار داد. با توجه به گسترش فناوری‌های مرتبط با شبیه‌سازی و مدل‌سازی ساختمان، استفاده کاربردی از این ابزارها جهت طراحی بھینه در راستای کاهش مصرف انرژی با افزایش آسایش مصرف کنندگان، مورد توجه بوده است. در همین راستا و با در نظر گرفتن ضرورت نگاه بھینه در طراحی، این تحقیق برپایه کاهش مصرف انرژی و بھینه‌سازی فرم از اقلیم یزد که پیشتر در تاریخ معماری شهر یزد مورد توجه بوده است انجام شده و با نگاهی غیر فعالانه جواب‌های بھینه‌ای برای فرم ساختمان با هدف آسایش ساکنان در حالت تهویه طبیعی ارایه می‌دهد که می‌تواند به عنوان اساسی برای ساختمان‌های بومی در اقلیم گرم و خشک یزد مورد استفاده طراحانی که به کاهش مصرف انرژی در مراحل اولیه طراحی اهمیت می‌دهند، قرار بگیرد. با استفاده کردن از این طرح در مرحله طراحی مفهومی، پاسخ‌های بھینه در زمینه راه حل‌های غیر فعال و فعل دیگر را نیز با یک پایه درست می‌توان یافت و در نهایت نتیجه به دست آوردن یک ساختمان بھینه ایده‌آل در شهر یزد است. فرآیندی که منجر به دستیابی فرم بھینه در طی برنامه این تحقیق شد به صورت شکل ۳۰ آورده شده است.



شکل ۳۰. فرآیند برنامه طراحی شده

شاخص‌های انتخابی جهت بھینه‌سازی در پژوهش حاضر، آسایش حرارتی فصل گرم و آسایش بصری در نظر گرفته شد. نتایج به دست آمده برای

تشکر و قدردانی: این مقاله برگرفته از پایان‌نامه کارشناسی ارشد نویسنده دوم و به راهنمایی نویسنده اول تحت عنوان «طراحی و بهینه‌سازی فرم واحدی مسکونی واقع در مجتمع مسکونی در اقلیم گرم و خشک (شهر یزد) با استفاده از هوش‌منابعی» در دانشگاه بوعالی سینا انجام گرفته است.

تأثیراتیهای اخلاقی: تمام اصول اخلاقی در زمینه چاپ و نشر این مقاله رعایت شده است.

تعارض منافع: وجود تعارض منافع بین عوامل شرکت‌کننده در تولید مقاله توسط نویسنده‌گان گزارش نشده است.

سهم نویسنده‌گان: نویسنده دوم (مریم یونسی) به عنوان پژوهشگر و نگارنده اصلی مقاله، ایده‌پرداز و فعال در تدوین محتوا و مطالعات کتابخانه‌ای و انجام مدلسازی و شبیه‌سازی‌ها و تحلیل داده‌ها دارای سهم ۵۰٪ و نویسنده اول (محمد‌مهدی مولایی)، استاد راهنمای، فعالیت در کنترل و مدیریت روند مطالعات و پژوهش و اصلاح نگارش و مشارکت در تحلیل داده‌ها و نتایج دارای سهم ۵۰٪ هستند.

منابع مالی / حمایت‌ها: موردي توسط نویسنده‌گان گزارش نشده است.

References

1. Zou Y, Zhan Q, Xiang K. A comprehensive method for optimizing the design of a regular architectural space to improve building performance. *Energy Reports*, 2021 Nov; 7:981-996.
<https://doi.org/10.1016/j.egyr.2021.01.097>
2. Fang Y, Cho S. Design optimization of building geometry and fenestration for daylighting and energy performance. *Solar Energy*, 2019 Oct; 191: 7-18.
<http://dx.doi.org/10.1016/j.solener.2019.08.039>
3. Binghui S, Wang J, Yao X, Shi X, Jin X, Zhou X. Multi-objective optimization design of a complex building based on an artificial neural network and performance evaluation of algorithms. *Advanced Engineering Informatics*, 2019 Apr; 40: 93-109.
<https://doi.org/10.1016/j.aei.2019.03.006>
4. Feng J, Luo X, Gao M, Abbas A, Xu Y, Pouramini S. Minimization of energy consumption by building shape optimization using an improved Manta-Ray Foraging Optimization algorithm. *Energy Reports*, 2021 Nov; 7: 1068-1078.
<https://doi.org/10.1016/j.egyr.2021.02.028>
5. Hemsath T.L., Bandhosseini K.A. Sensitivity analysis evaluating basic building geometry's effect on energy use. *Renewable Energy*, 2015 Apr; 76:526- 538.
<https://doi.org/10.1016/j.renene.2014.11.044>
6. Ostergard T, Jensen R. L., Maagaard S. E. Building simulations supporting decision making in early design – A review. *Renewable and Sustainable Energy Reviews*, 2016 Aug; 61: 187-201.
<https://doi.org/10.1016/j.rser.2016.03.045>
7. Wortmann T, Nannicini G. *Introduction to Architectural Design Optimization*. In City Networks – Planning for Health and Sustainability. Springer International Publishing; 2017.
http://dx.doi.org/10.1007/978-3-319-65338-9_14
8. Jamalpour S., Arbaban A. The effect of climate on the formation of the architecture of Yazd houses. *National Conference on Native Iranian Architecture and Urban Planning*. 2016 March.[Persian] Available at: <https://civilica.com/doc/544758>
9. Zarei M, Mirdehghan F. The role of the central courtyard pattern in adjusting the harsh conditions of the hot and dry climate of Yazd region. *Irani Islamic Shahr Journal*. 2015;6(23):5-18. [Persian] Available at: <https://www.sid.ir/paper/177438/fa>
10. Mohammed S A, Awad O A, Radhi A M. Optimization of energy consumption and thermal comfort for intelligent building management system using genetic algorithm. *Indonesian Journal of Electrical Engineering and Computer Science*, 2020 Dec; 20(3): 1613-1625.
<http://dx.doi.org/10.11591/ijeecs.v20.i3.pp1613-1625>
11. Konis K, Gamas A, Kensek K. Passive performance and building form: An optimization framework for early-stage design support. *Solar Energy*. 2016 Feb; 125: 161-179.
<https://doi.org/10.1016/j.solener.2015.12.020>
12. Gerber D J, Lin S H. Designing in complexity: Simulation, integration, and multidisciplinary design optimization for architecture. *SIMULATION*. 2013 Aug; 90(8).
<https://doi.org/10.1177/0037549713482027>
13. Motazedian F. Analysis of Optimum Window-to-Wall Ratio in Horizontally Expanded and Vertically Expanded Windows in Tehran, Iran. *International Journal of*

- Architectural Engineering & Urban Planning.* 2019 June; 29(1): 61-68. Available at: <https://ijaup.iust.ac.ir/article-1-428-en.pdf>
14. Stazi F., Naspi F., Ulpaini G., Di Perna C. Indoor air quality and thermal comfort optimization in classrooms developing an automatic system for windows opening and closing. *Energy and Buildings.* 2017 Jan; 139: 732-746. <https://doi.org/10.1016/j.enbuild.2017.01.017>
 15. Tang R., Wang S. Model predictive control for thermal energy storage and thermal comfort optimization of building demand response in smart grids. *Applied Energy.* 2019 May; 242: 873-882. <https://doi.org/10.1016/j.apenergy.2019.03.038>
 16. Ameur M., Kharbouch Y., Mimet A. Optimization of passive design features for a naturally ventilated residential building according to the bioclimatic architecture concept and considering the northern Morocco climate. *Building Simulation.* 2020 Jan; 13(3): 677-689. <http://dx.doi.org/10.1007/s12273-019-0593-6>
 17. Gou S., Nik V. M., Scartezzini J. L., Zhao Q., Li Z. Passive design optimization of newly-built residential buildings in Shanghai for improving indoor thermal comfort while reducing building energy demand. *Energy and Buildings.* 2017 Oct; 169: 484-506. <http://dx.doi.org/10.1016/j.enbuild.2017.09.095>
 18. Shahbazi Y., Heydari M., Haghparast F. An early-stage design optimization for office buildings' facade providing high-energy performance and daylight. *Indoor and Built Environment.* 2019 Apr; 28(10): 1-18. <http://dx.doi.org/10.1177/1420326X19840761>
 19. Lu S., Wang R., Zheng S. Passive Optimization Design Based on Particle Swarm Optimization in Rural Buildings of the Hot Summer and Warm Winter Zone of China. *Sustainability.* 2017 Dec; 9(12): 1-30. <https://doi.org/10.3390/su9122288>
 20. Lucarelli C C, Carlo J C, Martinez A C P. Simulation-based optimization for an origami-shaped canopy. *PARC Pesquisa em Arquitetura e Construção.* 2020 Aug; 11(0): 1-20. <http://dx.doi.org/10.20396/parc.v11i0.8658250>
 21. Steadman P. Why are most buildings rectangular? *Architectural Research Quarterly.* 2006 June; 10(2): 119-130. <http://dx.doi.org/10.1017/S1359135506000200>
 22. Omrani H., Marsono A. K. Optimization of Building Energy Performance through Hybridization Design Strategies. *British Journal of Applied Science & Technology.* 2015 Jan; 13(1): 1-16. <http://dx.doi.org/10.9734/BJAST/2016/23116>
 23. Bekkouche S.M.A., Benouaz T., Cherier M.K., Hamdani M., Yaiche M.R., Benamrane N. Influence of the compactness index to increase the internal temperature of a building in saharan climate. *Energy and Buildings.* 2013 Aug; 66: 678-687. <https://doi.org/10.1016/j.enbuild.2013.07.077>
 24. Aksoy U.T., Inalli M. Impacts of some building passive design parameters on heating demand for a cold region. *Building and Environment.* 2006. Dec; 41(12): 1742-1754. <http://dx.doi.org/10.1016/j.buildenv.2005.07.011>
 25. Mingfang T. Solar control for buildings. *Building and Environment.* 2002 July; 37(7): 659-664. [https://doi.org/10.1016/S0360-1323\(01\)00063-4](https://doi.org/10.1016/S0360-1323(01)00063-4)
 26. Faizi F., Noorani M., Ghaedi A., Mahdavinejad M. Design an optimum pattern of orientation in residential complexes by analyzing the level of energy consumption (case study: Maskan mehr complexes, Tehran, Iran). *Procedia Engineering.* 2011 Dec; 21: 1179-1187. <https://doi.org/10.1016/j.proeng.2011.11.2128>
 27. Fallahpour M. Investigating the location of residential complexes in Yazd city according to the climatic parameters of wind and solar radiation. *The first annual conference of architecture, urban planning & urban management.* 2015 Dec. [Persian] Available at: <https://www.sid.ir/FileServer/SF/3691394H01104>
 28. Jahanbakhsh S., Esmaeelpour N. Basics of climatic design of residential units in Yazd city (thermal and lighting basics). *The Geographical Quarterly of the Land.* 2004.

29. [Persian] Available at: <https://sid.ir/paper/454406/fa>
30. Orosa J.A. and Oliveira A.C. A new thermal comfort approach comparing adaptive and PMV models. *Renewable Energy*. 2011 Mar; 36(3): 951-956. <http://dx.doi.org/10.1016/j.renene.2010.09.13>
31. Humphreys M.A. and Nicol J.F. Understanding the Adaptive Approach to Thermal Comfort, *ASHRAE Transactions*. 1998 Jan;104(1): 991-1004. Available at: <https://cir.nii.ac.jp/crid/1573387449932570752>
32. Saberi O, Saneii P, Javanbakht A. Thermal Comfort in Architecture. *Engineering, Environmental Science*. 2006. Available at: https://www.academia.edu/40447340/Thermal_Comfort_in_Architecture
33. Rana D.S., Malhotra R., Kumar D. and Aghi G. Guidelines for optimum visual comfort derived from key performance parameters. *The Energy and Resources Institute*. 2021. Available at: <https://www.teriin.org/sites/default/files/2021-11/Guidelines-for-Visual-Comfort.pdf>
34. Shafavi Moghaddam N., Zomorodian Z. S., Tahsildoust M. Ability of daylight Indicators in estimating adequate lighting in space based on user assessments Case study: Architecture design studios in Tehran. *Soffeh*. 2019 Sep; 29(3): 37-56. [Persian] Available at: https://soffeh.sbu.ac.ir/article_100480.html
35. Lakhdari K., Sriti L. and Painter B. Parametric optimization of daylight, thermal and energy performance of middle school classrooms, case of hot and dry regions. *Building and Environment*. 2021 July; 204(2):108173. <http://dx.doi.org/10.1016/j.buildenv.2021.108173>